

(HUANJING KEXUE)

# ENVIRONMENTAL SCIENCE

第35卷 第9期

Vol.35 No.9

2014

中国科学院生态环境研究中心 主办

斜学出版社出版



### ENVIRONMENTAL SCIENCE

第35卷 第9期 2014年9月15日

## 目 次

长江三角洲地区霾判别方法的对比分析	
长江二用初地区建刊加力法的对比分别	
1980~2012年江苏省城市霾目的时空分布及成因分析 刘端阳,魏建苏,严文莲,吕车,孙燕(3247)	
万里关大气一氧化碳和甲烷时间变化特征	
上海地区 DM 由古扣陽和三字牌亦作性尔乃中酒公托	
上海观众 $\Gamma$ $\mathbf{m}_2$ , $\Gamma$ $\mathbf{n}_3$ , $\Gamma$ $\mathbf{m}_4$ , $\Gamma$ $\mathbf{m}_4$ , $\Gamma$ $\mathbf{m}_5$ , $\Gamma$ $\mathbf{m}_5$ , $\Gamma$ $\mathbf{m}_6$ ,	
亚青会期间南京市气溶胶中 OC 和 EC 的粒径分布 ····································	
无锡市冬季典型天气 PM. 中碳组分的污染特征 ············ 云龙龙 陆织 张天舒 伍德侠 感世杰 陆亦怀 刘建国(3280)	
市的核研工生如晒影物 DM 排放舷桥公标 艾南南 对亚南 对沙克 观义的 对数据 工程电 工工厂(2007)	
高炉炼铁工艺细颗粒物 PM <sub>2.5</sub> 排放特性分析 范真真,赵亚丽,赵浩宁,梁兴印,孙静雯,王保贵,王亚军(3287)	
重庆市北碚城区大气中 VOCs 组成特征研究 祁心,郝庆菊,吉东生,张军科,刘子锐,胡波,王跃思,江长胜(3293)	
双组分 VOCs 的催化氧化及动力学分析	
双组分 VOCs 的催化氧化及动力学分析	
行手排放超细域性数体及及性性信待性的关系切孔	
疏勒河上游地表水水化学主离子特征及其控制因素	
十江河南湖的乃甘江海河口市人居穴间入左乃河流河	
人过何恐怕权及共进两何口里並属至问为"权及行朱宁"	
大辽河感潮段及其近海河口重金属空间分布及污染评价	
北京奧林匹克公园地表颗粒物粒度特征分析 李海燕,石安邦,瞿杨晟,岳靖淋(3352)	
黄河丰巨河和柳山米一岭蓝龙夕复晚至水亚公东	
奥西农区仍然物下关一幅关乡敦怀本外下万印	
合肥城郊典型源头溪流不同渠迫形态的氮鳞滞留特值	
基干水资源调度的平原河网区城市河道氮迁移转化研究 · · · · · · · · · · · · · · · · · · ·	
刘波,盛明,朱强,杨霜,檀炳超,范冉,南旭军,何茂阳,王国祥(3373)	
八瓜, 渔切, 不浊, 彻相, 饱附块, 池村, 附心干, 凹, 风阳, 工国件(33/3)	
杭州湾潮滩湿地植物不同分解过程及其磷素动态 ····································	
基于数据同化的太湖叶绿素多模型协同反演 李渊,李云梅,吕恒,朱利,吴传庆,杜成功,王帅(3389)	
天然日光辐照下两江交汇处溶解性有机质(DOM)光漂白过程:以涪江-嘉陵江为例····································	
人然且几抽思「两征文征处价胜任有优灰(DOM)儿综口及任:以信任-新校任人内约"	
利用紫外-可见吸收光谱估算三峡库区消落带水体、土壤和沉积物溶解性有机质(DOM)浓度 ····································	
李璐璐,江韬,卢松,闫金龙,高洁,魏世强,王定勇,郭念,赵铮(3408)	
于哪哪,在阳, / 位, 同重龙, 阳伯, 观巴旗, 上尺为, 孙心, 应证 / 0, 同重龙, 阳伯, 观巴旗, 上尺为, 孙心, 应讨 (3400)	
Cu <sub>2</sub> O-Ag-AgBr/MA 可见光催化剂的制备及具降解 2-氯苯酚的研究 土冉,周雪峰,胡字香,胡春(3417)	
Cu <sub>2</sub> O-Ag-AgBr/MA 可见光催化剂的制备及其降解 2-氯苯酚的研究 ····································	
李	
李欢旋,万金泉,马邕文,黄明智,王艳,陈杨梅(3422) 还原脱氯-生物联合降解 2,4-二氯苯氧乙酸	
<b>还</b> 原脫氣-生物狀台降解 2,4-二氯本氧乙酸 ························ 周红 2,胃芯芯,菜芯,軒签(3430)	
名介质土壤港 巨 玄 统 ( MSI ) 与 遨 流 式 人 工 湿 地 枯 术 孙 珊 海 水 美 硝 座 水 的 効 能 レ 较	
- シカ灰工装成/公水光(m5L) 与信加工八工運電X	
少月成上表述/法式記憶/司信旭八八上巡巡汉小又全海小外温成小的双胎记载。 ————————————————————————————————————	
不同碳源在污水处理过程中的变化规律研究····································	
一个一个一个一个一个一个一个一个一个一个一个一个一个一个一个一个一个一个一个	
一次工模能/发示机(MSL)与情况以入工证证权不处理两个介值及不时效能记载 一次,黄玉婷,葛川,张浩,陈昕,张志剑,罗安程(3436) 不同碳源在污水处理过程中的变化规律研究 金鹏康,常晋,王先宝,刘柯君,王晓昌(3443) 气升装置对厌氧氨氧化反应器脱氮效能的影响 李祥,张大林,黄勇,陈宗姮,袁怡(3449) 微波及其组合工艺强化污泥厌氧消化研究 刘吉宝 倪晓堂 魏源送 佟娟 王亚炜(3455)	
一次,	
不同碳源在污水处理过程中的变化规律研究                             金鹏康,常晋,王先宝,刘柯君,王晓昌(3443) 气升装置对厌氧氨氧化反应器脱氮效能的影响	
不同碳源在污水处理过程中的变化规律研究                               金鹏康,常晋,王先宝,刘柯君,王晓昌(3443) 气升装置对厌氧氨氧化反应器脱氮效能的影响	
不同碳源在污水处理过程中的变化规律研究                               金鹏康,常晋,王先宝,刘柯君,王晓昌(3443) 气升装置对厌氧氨氧化反应器脱氮效能的影响	
不同碳源在污水处理过程中的变化规律研究                               金鹏康,常晋,王先宝,刘柯君,王晓昌(3443) 气升装置对厌氧氨氧化反应器脱氮效能的影响	
不同碳源在污水处理过程中的变化规律研究                               金鹏康,常晋,王先宝,刘柯君,王晓昌(3443) 气升装置对厌氧氨氧化反应器脱氮效能的影响	
不同碳源在污水处理过程中的变化规律研究 金鵬康,常晋,王先宝,刘柯君,王晓昌(3443) 气升装置对厌氧氨氧化反应器脱氮效能的影响 李祥,张大林,黄勇,陈宗短,袁怡(3449) 微波及其组合工艺强化污泥厌氧消化研究 刘吉宝,倪晓棠,魏源送,佟娟,王亚炜(3455) "热水解—高温厌氧消化"工艺处理高含固率剩余污泥的中试研究 吴静,王广启,曹知平,李中华,胡玉瑛,王凯军,左剑恶(3461) 温度对 ABR-MBR 复合工艺处理生活污水的影响及其微生物群落分析 吴鹏,陆爽君,徐乐中,刘捷,沈耀良(3466) 污水处理厂尾水细菌群落结构分析 徐爱玲,任杰,宋志文,吴等等,夏岩(3473) 沼液养殖钝顶螺旋藻的中试研究 国青青,刘锐,罗金飞,王根荣,陈吕军,刘矣(3480) 内源呼吸过程溶解性代谢产物的光谱特性分析 李志华,引起丽,张芹,刘毅(3487) 基于呼吸图谱的自养菌与异养菌内源呼吸过程分析 李志华,自旭丽,张芹,刘毅(3487) 基于呼吸图谱的自养菌与异养菌内源呼吸过程分析 李志华,自旭丽,张芹,刘毅(3487) 基于呼吸图谱的自养菌与异养菌内源呼吸过程分析 李志华,自旭丽,张芹,刘毅,贺春博(3492) S-异丙甲草胺与镉对斜生栅藻光合作用的影响 陈彩东,胡晓娜,章小强,刘惠君(3498) 影响浑太河流域鱼类群落结构的不同尺度环境因子分析 李艳利,李艳粉,徐宗学(3504) 河口区新建河道轮虫群落结构的不同尺度环境因子分析 李艳利,李艳粉,徐宗学(3504) 河口区新建河道轮虫群落境替及与水环境的关系 马文华,张玮,顾琬雯,张瑞雷,王丽卿(3513) Fontibacter sp. SgZ-2 厌氧腐殖质/Fe(Ⅲ)还原特性及电子传递机制研究 艾建超,王宁,杨净(3530) 石河子市土壤环境磁学特征及空间分布研究 杨涵,熊黑钢,陈学刚(3537) 不同施磷量(KH, PO₄)作用对 Cu、Zn 在红壤中的迁移转化 郭亮,李忠武,黄斌,王艳,张艳(3546)	
不同碳源在污水处理过程中的变化规律研究 金鵬康,常晋,王先宝,刘柯君,王晓昌(3443) 气升装置对厌氧氨氧化反应器脱氮效能的影响 李祥,张大林,黄勇,陈宗姮,袁恰(3449) 微波及其组合工艺强化污泥厌氧消化研究 刘吉宝,倪晓棠,魏源送,佟娟,王亚炜(3455) "热水解-高温厌氧消化"工艺处理高含固率剩余污泥的中试研究 吴静,王广启,曹知平,李中华,胡玉瑛,王凯军,左剑恶(3461) 温度对 ABR-MBR 复合工艺处理生活污水的影响及其微生物群落分析 吴鹏,陆爽君,徐乐中,刘捷,沈耀良(3466) 污水处理厂尾水细菌群落结构分析 徐爱玲,任杰,宋志文,吴等等,夏岩(3473) 沼液养殖钝顶螺旋藻的中试研究 国青青,刘锐,罗金飞,王根荣,陈吕军,刘矣(3480) 内源呼吸过程溶解性代谢产物的光谱特性分析 李志华,白旭丽,刘毅(3487) 基于呼吸图谱的自养菌与异养菌内源呼吸过程分析 李志华,自旭丽,张芹,刘毅,贺春博(3492) S-异丙甲草胺与镉对斜生栅藻光合作用的影响 陈彩东,胡晓娜,章小强,刘惠君(3498) 影响浑太河流域鱼类群落结构的不同尺度环境因子分析 李志华,自他丽,张芹,刘毅,贺春博(3492) 另一时直转出群落演替及与水环境的关系 马文华,张玮,顾琬雯,张瑞雷,王丽卿(3513) Fontibacter sp. SgZ-2 厌氧腐殖质/Fe(Ⅲ)还原特性及电子传递机制研究 马晨,杨贵芹,陆琴,周顺桂(3522) 基于 UNMIX 模型的夹皮沟金矿区土壤重金属源解析 大郎,李忠武,黄斌,王中,杨净(3537) 不同施磷量(KH₂PO₄)作用对 Cu、Zn 在红壤中的迁移转化 郭亮,李忠武,黄斌,王护,张净(3536) 命畜对水稻吸收砷的牛物有效性及其在十壤中形还影响 杨世杰,唐冰培、王代长、徐伟、张平楠、王丹、朱云集(3553)	
不同碳源在污水处理过程中的变化规律研究 金鵬康,常晋,王先宝,刘柯君,王晓昌(3443) 气升装置对厌氧氨氧化反应器脱氮效能的影响 李祥,张大林,黄勇,陈宗姮,袁恰(3449) 微波及其组合工艺强化污泥厌氧消化研究 刘吉宝,倪晓棠,魏源送,佟娟,王亚炜(3455) "热水解-高温厌氧消化"工艺处理高含固率剩余污泥的中试研究 吴静,王广启,曹知平,李中华,胡玉瑛,王凯军,左剑恶(3461) 温度对 ABR-MBR 复合工艺处理生活污水的影响及其微生物群落分析 吴鹏,陆爽君,徐乐中,刘捷,沈耀良(3466) 污水处理厂尾水细菌群落结构分析 徐爱玲,任杰,宋志文,吴等等,夏岩(3473) 沼液养殖钝顶螺旋藻的中试研究 国青青,刘锐,罗金飞,王根荣,陈吕军,刘矣(3480) 内源呼吸过程溶解性代谢产物的光谱特性分析 李志华,白旭丽,刘毅(3487) 基于呼吸图谱的自养菌与异养菌内源呼吸过程分析 李志华,自旭丽,张芹,刘毅,贺春博(3492) S-异丙甲草胺与镉对斜生栅藻光合作用的影响 陈彩东,胡晓娜,章小强,刘惠君(3498) 影响浑太河流域鱼类群落结构的不同尺度环境因子分析 李志华,自他丽,张芹,刘毅,贺春博(3492) 另一时直转出群落演替及与水环境的关系 马文华,张玮,顾琬雯,张瑞雷,王丽卿(3513) Fontibacter sp. SgZ-2 厌氧腐殖质/Fe(Ⅲ)还原特性及电子传递机制研究 马晨,杨贵芹,陆琴,周顺桂(3522) 基于 UNMIX 模型的夹皮沟金矿区土壤重金属源解析 大郎,李忠武,黄斌,王中,杨净(3537) 不同施磷量(KH₂PO₄)作用对 Cu、Zn 在红壤中的迁移转化 郭亮,李忠武,黄斌,王护,张净(3536) 命畜对水稻吸收砷的牛物有效性及其在十壤中形还影响 杨世杰,唐冰培、王代长、徐伟、张平楠、王丹、朱云集(3553)	
不同碳源在污水处理过程中的变化规律研究 金鵬康,常晋,王先宝,刘柯君,王晓昌(3443) 气升装置对厌氧氨氧化反应器脱氮效能的影响 李祥,张大林,黄勇,陈宗姮,袁恰(3449) 微波及其组合工艺强化污泥厌氧消化研究 刘吉宝,倪晓棠,魏源送,佟娟,王亚炜(3455) "热水解-高温厌氧消化"工艺处理高含固率剩余污泥的中试研究 吴静,王广启,曹知平,李中华,胡玉瑛,王凯军,左剑恶(3461) 温度对 ABR-MBR 复合工艺处理生活污水的影响及其微生物群落分析 吴鹏,陆爽君,徐乐中,刘捷,沈耀良(3466) 污水处理厂尾水细菌群落结构分析 徐爱玲,任杰,宋志文,吴等等,夏岩(3473) 沼液养殖钝顶螺旋藻的中试研究 国青青,刘锐,罗金飞,王根荣,陈吕军,刘矣(3480) 内源呼吸过程溶解性代谢产物的光谱特性分析 李志华,白旭丽,刘毅(3487) 基于呼吸图谱的自养菌与异养菌内源呼吸过程分析 李志华,自旭丽,张芹,刘毅,贺春博(3492) S-异丙甲草胺与镉对斜生栅藻光合作用的影响 陈彩东,胡晓娜,章小强,刘惠君(3498) 影响浑太河流域鱼类群落结构的不同尺度环境因子分析 李志华,自他丽,张芹,刘毅,贺春博(3492) 另一时直转出群落演替及与水环境的关系 马文华,张玮,顾琬雯,张瑞雷,王丽卿(3513) Fontibacter sp. SgZ-2 厌氧腐殖质/Fe(Ⅲ)还原特性及电子传递机制研究 马晨,杨贵芹,陆琴,周顺桂(3522) 基于 UNMIX 模型的夹皮沟金矿区土壤重金属源解析 大郎,李忠武,黄斌,王中,杨净(3537) 不同施磷量(KH₂PO₄)作用对 Cu、Zn 在红壤中的迁移转化 郭亮,李忠武,黄斌,王护,张净(3536) 命畜对水稻吸收砷的牛物有效性及其在十壤中形还影响 杨世杰,唐冰培、王代长、徐伟、张平楠、王丹、朱云集(3553)	
不同碳源在污水处理过程中的变化规律研究 金鹏康、常晋,王先宝,刘柯君,王晓昌(3443) 微波及其组合工艺强化污泥医氧消化研究 李祥,张大林,黄勇,陈宗姮,袁怡(3449) 微波及其组合工艺强化污泥医氧消化研究 刘吉宝,倪晓棠,魏源送,佟娟,王亚炜(3455) "热水解-高温厌氧消化"工艺处理高含固率剩余污泥的中试研究 吴静,王广启,曹知平,李中华,胡玉瑛,王凯军,左剑恶(3461) 温度对 ABR-MBR 复合工艺处理生活污水的影响及其微生物群落分析 吴鹏,陆爽君,徐乐中,刘捷,沈耀良(3466) 污水处理厂尾水细菌群落结构分析 徐爱玲,任杰、宋志文,吴等等,夏岩(3473) 沼液养殖钝顶螺旋藻的中试研究 国青青,刘锐、罗金飞,王根荣,陈吕军,刘笑(3480) 内源呼吸过程溶解性代谢产物的光谱特性分析 李志华,弘产,白旭丽,张芹,刘毅、贺春坤(3492) S-异丙甲草胺与镉对斜生栅藻光合作用的影响 陈彩东,胡晓娜 章小戮,刘惠君(3498) 影响浑太河流域鱼类群落结构的不同尺度环境因子分析 李志华,自地丽,张芹,刘毅、贺春坤(3492) S-异丙甲草胺与镉对斜生栅藻光合作用的影响 陈彩东,胡晓娜 章小戮,刘惠君(3498) 影响浑太河流域鱼类群落结构的不同尺度环境因子分析 李艳利,李艳利,李艳粉,徐宗学(3504) 河口区新建河道轮虫群落演替及与水环境的关系 马文华,张玮,顾琬雯,张瑞雷,王丽卿(3513) Fontibacter sp. Sg2-2 厌氧腐殖质/Fe(Ⅲ)还原特性及电子传递机制研究 马晨,杨贵芹,陆琴,周顺桂(3522) 基于 UNMIX 模型的夹皮沟金矿区土壤重金属源解析 艾建超,王宁,杨净(3530) 石河子市土壤环境磁学特征及空间分布研究 杨涵,熊黑钢,陈字刚(3537) 不同施磷量(KH,PQ。)作用对 Cu、Zn 在红壤中的迁移转化 郭亮,李忠武,黄斌,王艳,张艳(3546) 硫素对水稻吸收砷的生物有效性及其在土壤中形态影响 杨世杰,唐冰培,王代长,饶伟,张亚楠,王丹,朱云集(3553) 硫对土壤中硒形态变化及油菜硒吸收的影响 刘新伟,段碧辉,夏全杰,矫威,郭再华,胡承孝,赵竹青(3564) 再生水灌溉对土壤化学性质及可培养微生物的影响 刘新伟,段碧辉,夏全杰,矫威,郭再华,胡承孝,赵竹青(3564)	
不同碳源在污水处理过程中的变化规律研究 金鹏康、常晋,王先宝,刘柯君,王晓昌(3443) 微波及其组合工艺强化污泥医氧消化研究 李祥,张大林,黄勇,陈宗姮,袁怡(3449) 微波及其组合工艺强化污泥医氧消化研究 刘吉宝,倪晓棠,魏源送,佟娟,王亚炜(3455) "热水解-高温厌氧消化"工艺处理高含固率剩余污泥的中试研究 吴静,王广启,曹知平,李中华,胡玉瑛,王凯军,左剑恶(3461) 温度对 ABR-MBR 复合工艺处理生活污水的影响及其微生物群落分析 吴鹏,陆爽君,徐乐中,刘捷,沈耀良(3466) 污水处理厂尾水细菌群落结构分析 徐爱玲,任杰、宋志文,吴等等,夏岩(3473) 沼液养殖钝顶螺旋藻的中试研究 国青青,刘锐、罗金飞,王根荣,陈吕军,刘笑(3480) 内源呼吸过程溶解性代谢产物的光谱特性分析 李志华,弘产,白旭丽,张芹,刘毅、贺春坤(3492) S-异丙甲草胺与镉对斜生栅藻光合作用的影响 陈彩东,胡晓娜 章小戮,刘惠君(3498) 影响浑太河流域鱼类群落结构的不同尺度环境因子分析 李志华,自地丽,张芹,刘毅、贺春坤(3492) S-异丙甲草胺与镉对斜生栅藻光合作用的影响 陈彩东,胡晓娜 章小戮,刘惠君(3498) 影响浑太河流域鱼类群落结构的不同尺度环境因子分析 李艳利,李艳利,李艳粉,徐宗学(3504) 河口区新建河道轮虫群落演替及与水环境的关系 马文华,张玮,顾琬雯,张瑞雷,王丽卿(3513) Fontibacter sp. Sg2-2 厌氧腐殖质/Fe(Ⅲ)还原特性及电子传递机制研究 马晨,杨贵芹,陆琴,周顺桂(3522) 基于 UNMIX 模型的夹皮沟金矿区土壤重金属源解析 艾建超,王宁,杨净(3530) 石河子市土壤环境磁学特征及空间分布研究 杨涵,熊黑钢,陈字刚(3537) 不同施磷量(KH,PQ。)作用对 Cu、Zn 在红壤中的迁移转化 郭亮,李忠武,黄斌,王艳,张艳(3546) 硫素对水稻吸收砷的生物有效性及其在土壤中形态影响 杨世杰,唐冰培,王代长,饶伟,张亚楠,王丹,朱云集(3553) 硫对土壤中硒形态变化及油菜硒吸收的影响 刘新伟,段碧辉,夏全杰,矫威,郭再华,胡承孝,赵竹青(3564) 再生水灌溉对土壤化学性质及可培养微生物的影响 刘新伟,段碧辉,夏全杰,矫威,郭再华,胡承孝,赵竹青(3564)	
不同碳源在污水处理过程中的变化规律研究 金鹏康、常晋,王先宝,刘柯君,王晓昌(3443) 微波及其组合工艺强化污泥医氧消化研究 李祥,张大林,黄勇,陈宗姮,袁怡(3449) 微波及其组合工艺强化污泥医氧消化研究 刘吉宝,倪晓棠,魏源送,佟娟,王亚炜(3455) "热水解-高温厌氧消化"工艺处理高含固率剩余污泥的中试研究 吴静,王广启,曹知平,李中华,胡玉瑛,王凯军,左剑恶(3461) 温度对 ABR-MBR 复合工艺处理生活污水的影响及其微生物群落分析 吴鹏,陆爽君,徐乐中,刘捷,沈耀良(3466) 污水处理厂尾水细菌群落结构分析 徐爱玲,任杰、宋志文,吴等等,夏岩(3473) 沼液养殖钝顶螺旋藻的中试研究 国青青,刘锐、罗金飞,王根荣,陈吕军,刘笑(3480) 内源呼吸过程溶解性代谢产物的光谱特性分析 李志华,弘产,白旭丽,张芹,刘毅、贺春坤(3492) S-异丙甲草胺与镉对斜生栅藻光合作用的影响 陈彩东,胡晓娜 章小戮,刘惠君(3498) 影响浑太河流域鱼类群落结构的不同尺度环境因子分析 李志华,自地丽,张芹,刘毅、贺春坤(3492) S-异丙甲草胺与镉对斜生栅藻光合作用的影响 陈彩东,胡晓娜 章小戮,刘惠君(3498) 影响浑太河流域鱼类群落结构的不同尺度环境因子分析 李艳利,李艳利,李艳粉,徐宗学(3504) 河口区新建河道轮虫群落演替及与水环境的关系 马文华,张玮,顾琬雯,张瑞雷,王丽卿(3513) Fontibacter sp. Sg2-2 厌氧腐殖质/Fe(Ⅲ)还原特性及电子传递机制研究 马晨,杨贵芹,陆琴,周顺桂(3522) 基于 UNMIX 模型的夹皮沟金矿区土壤重金属源解析 艾建超,王宁,杨净(3530) 石河子市土壤环境磁学特征及空间分布研究 杨涵,熊黑钢,陈字刚(3537) 不同施磷量(KH,PQ。)作用对 Cu、Zn 在红壤中的迁移转化 郭亮,李忠武,黄斌,王艳,张艳(3546) 硫素对水稻吸收砷的生物有效性及其在土壤中形态影响 杨世杰,唐冰培,王代长,饶伟,张亚楠,王丹,朱云集(3553) 硫对土壤中硒形态变化及油菜硒吸收的影响 刘新伟,段碧辉,夏全杰,矫威,郭再华,胡承孝,赵竹青(3564) 再生水灌溉对土壤化学性质及可培养微生物的影响 刘新伟,段碧辉,夏全杰,矫威,郭再华,胡承孝,赵竹青(3564)	
不同碳源在污水处理过程中的变化规律研究 金鹏康、常晋,王先宝,刘柯君,王晓昌(3443) 微波及其组合工艺强化污泥医氧消化研究 李祥,张大林,黄勇,陈宗姮,袁怡(3449) 微波及其组合工艺强化污泥医氧消化研究 刘吉宝,倪晓棠,魏源送,佟娟,王亚炜(3455) "热水解-高温厌氧消化"工艺处理高含固率剩余污泥的中试研究 吴静,王广启,曹知平,李中华,胡玉瑛,王凯军,左剑恶(3461) 温度对 ABR-MBR 复合工艺处理生活污水的影响及其微生物群落分析 吴鹏,陆爽君,徐乐中,刘捷,沈耀良(3466) 污水处理厂尾水细菌群落结构分析 徐爱玲,任杰、宋志文,吴等等,夏岩(3473) 沼液养殖钝顶螺旋藻的中试研究 国青青,刘锐、罗金飞,王根荣,陈吕军,刘笑(3480) 内源呼吸过程溶解性代谢产物的光谱特性分析 李志华,弘产,白旭丽,张芹,刘毅、贺春坤(3492) S-异丙甲草胺与镉对斜生栅藻光合作用的影响 陈彩东,胡晓娜 章小戮,刘惠君(3498) 影响浑太河流域鱼类群落结构的不同尺度环境因子分析 李志华,自地丽,张芹,刘毅、贺春坤(3492) S-异丙甲草胺与镉对斜生栅藻光合作用的影响 陈彩东,胡晓娜 章小戮,刘惠君(3498) 影响浑太河流域鱼类群落结构的不同尺度环境因子分析 李艳利,李艳利,李艳粉,徐宗学(3504) 河口区新建河道轮虫群落演替及与水环境的关系 马文华,张玮,顾琬雯,张瑞雷,王丽卿(3513) Fontibacter sp. Sg2-2 厌氧腐殖质/Fe(Ⅲ)还原特性及电子传递机制研究 马晨,杨贵芹,陆琴,周顺桂(3522) 基于 UNMIX 模型的夹皮沟金矿区土壤重金属源解析 艾建超,王宁,杨净(3530) 石河子市土壤环境磁学特征及空间分布研究 杨涵,熊黑钢,陈字刚(3537) 不同施磷量(KH,PQ。)作用对 Cu、Zn 在红壤中的迁移转化 郭亮,李忠武,黄斌,王艳,张艳(3546) 硫素对水稻吸收砷的生物有效性及其在土壤中形态影响 杨世杰,唐冰培,王代长,饶伟,张亚楠,王丹,朱云集(3553) 硫对土壤中硒形态变化及油菜硒吸收的影响 刘新伟,段碧辉,夏全杰,矫威,郭再华,胡承孝,赵竹青(3564) 再生水灌溉对土壤化学性质及可培养微生物的影响 刘新伟,段碧辉,夏全杰,矫威,郭再华,胡承孝,赵竹青(3564)	
不同碳源在污水处理过程中的变化规律研究 金鹏康、常晋,王先宝,刘柯君,王晓昌(3443) 微波及其组合工艺强化污泥医氧消化研究 李祥,张大林,黄勇,陈宗姮,袁怡(3449) 微波及其组合工艺强化污泥医氧消化研究 刘吉宝,倪晓棠,魏源送,佟娟,王亚炜(3455) "热水解-高温厌氧消化"工艺处理高含固率剩余污泥的中试研究 吴静,王广启,曹知平,李中华,胡玉瑛,王凯军,左剑恶(3461) 温度对 ABR-MBR 复合工艺处理生活污水的影响及其微生物群落分析 吴鹏,陆爽君,徐乐中,刘捷,沈耀良(3466) 污水处理厂尾水细菌群落结构分析 徐爱玲,任杰、宋志文,吴等等,夏岩(3473) 沼液养殖钝顶螺旋藻的中试研究 国青青,刘锐、罗金飞,王根荣,陈吕军,刘笑(3480) 内源呼吸过程溶解性代谢产物的光谱特性分析 李志华,弘产,白旭丽,张芹,刘毅、贺春坤(3492) S-异丙甲草胺与镉对斜生栅藻光合作用的影响 陈彩东,胡晓娜 章小戮,刘惠君(3498) 影响浑太河流域鱼类群落结构的不同尺度环境因子分析 李志华,自地丽,张芹,刘毅、贺春坤(3492) S-异丙甲草胺与镉对斜生栅藻光合作用的影响 陈彩东,胡晓娜 章小戮,刘惠君(3498) 影响浑太河流域鱼类群落结构的不同尺度环境因子分析 李艳利,李艳利,李艳粉,徐宗学(3504) 河口区新建河道轮虫群落演替及与水环境的关系 马文华,张玮,顾琬雯,张瑞雷,王丽卿(3513) Fontibacter sp. Sg2-2 厌氧腐殖质/Fe(Ⅲ)还原特性及电子传递机制研究 马晨,杨贵芹,陆琴,周顺桂(3522) 基于 UNMIX 模型的夹皮沟金矿区土壤重金属源解析 艾建超,王宁,杨净(3530) 石河子市土壤环境磁学特征及空间分布研究 杨涵,熊黑钢,陈字刚(3537) 不同施磷量(KH,PQ。)作用对 Cu、Zn 在红壤中的迁移转化 郭亮,李忠武,黄斌,王艳,张艳(3546) 硫素对水稻吸收砷的生物有效性及其在土壤中形态影响 杨世杰,唐冰培,王代长,饶伟,张亚楠,王丹,朱云集(3553) 硫对土壤中硒形态变化及油菜硒吸收的影响 刘新伟,段碧辉,夏全杰,矫威,郭再华,胡承孝,赵竹青(3564) 再生水灌溉对土壤化学性质及可培养微生物的影响 刘新伟,段碧辉,夏全杰,矫威,郭再华,胡承孝,赵竹青(3564)	
不同碳源在污水处理过程中的变化规律研究 金鹏康、常晋,王先宝,刘柯君,王晓昌(3443) 微波及其组合工艺强化污泥医氧消化研究 李祥,张大林,黄勇,陈宗姮,袁怡(3449) 微波及其组合工艺强化污泥医氧消化研究 刘吉宝,倪晓棠,魏源送,佟娟,王亚炜(3455) "热水解-高温厌氧消化"工艺处理高含固率剩余污泥的中试研究 吴静,王广启,曹知平,李中华,胡玉瑛,王凯军,左剑恶(3461) 温度对 ABR-MBR 复合工艺处理生活污水的影响及其微生物群落分析 吴鹏,陆爽君,徐乐中,刘捷,沈耀良(3466) 污水处理厂尾水细菌群落结构分析 徐爱玲,任杰、宋志文,吴等等,夏岩(3473) 沼液养殖钝顶螺旋藻的中试研究 国青青,刘锐、罗金飞,王根荣,陈吕军,刘笑(3480) 内源呼吸过程溶解性代谢产物的光谱特性分析 李志华,弘产,白旭丽,张芹,刘毅、贺春坤(3492) S-异丙甲草胺与镉对斜生栅藻光合作用的影响 陈彩东,胡晓娜 章小戮,刘惠君(3498) 影响浑太河流域鱼类群落结构的不同尺度环境因子分析 李志华,自地丽,张芹,刘毅、贺春坤(3492) S-异丙甲草胺与镉对斜生栅藻光合作用的影响 陈彩东,胡晓娜 章小戮,刘惠君(3498) 影响浑太河流域鱼类群落结构的不同尺度环境因子分析 李艳利,李艳利,李艳粉,徐宗学(3504) 河口区新建河道轮虫群落演替及与水环境的关系 马文华,张玮,顾琬雯,张瑞雷,王丽卿(3513) Fontibacter sp. Sg2-2 厌氧腐殖质/Fe(Ⅲ)还原特性及电子传递机制研究 马晨,杨贵芹,陆琴,周顺桂(3522) 基于 UNMIX 模型的夹皮沟金矿区土壤重金属源解析 艾建超,王宁,杨净(3530) 石河子市土壤环境磁学特征及空间分布研究 杨涵,熊黑钢,陈字刚(3537) 不同施磷量(KH,PQ。)作用对 Cu、Zn 在红壤中的迁移转化 郭亮,李忠武,黄斌,王艳,张艳(3546) 硫素对水稻吸收砷的生物有效性及其在土壤中形态影响 杨世杰,唐冰培,王代长,饶伟,张亚楠,王丹,朱云集(3553) 硫对土壤中硒形态变化及油菜硒吸收的影响 刘新伟,段碧辉,夏全杰,矫威,郭再华,胡承孝,赵竹青(3564) 再生水灌溉对土壤化学性质及可培养微生物的影响 刘新伟,段碧辉,夏全杰,矫威,郭再华,胡承孝,赵竹青(3564)	
不同碳源在污水处理过程中的变化规律研究 金鹏康、常晋,王先宝,刘柯君,王晓昌(3443) 微波及其组合工艺强化污泥医氧消化研究 李祥,张大林,黄勇,陈宗姮,袁怡(3449) 微波及其组合工艺强化污泥医氧消化研究 刘吉宝,倪晓棠,魏源送,佟娟,王亚炜(3455) "热水解-高温厌氧消化"工艺处理高含固率剩余污泥的中试研究 吴静,王广启,曹知平,李中华,胡玉瑛,王凯军,左剑恶(3461) 温度对 ABR-MBR 复合工艺处理生活污水的影响及其微生物群落分析 吴鹏,陆爽君,徐乐中,刘捷,沈耀良(3466) 污水处理厂尾水细菌群落结构分析 徐爱玲,任杰、宋志文,吴等等,夏岩(3473) 沼液养殖钝顶螺旋藻的中试研究 国青青,刘锐、罗金飞,王根荣,陈吕军,刘笑(3480) 内源呼吸过程溶解性代谢产物的光谱特性分析 李志华,弘产,白旭丽,张芹,刘毅、贺春坤(3492) S-异丙甲草胺与镉对斜生栅藻光合作用的影响 陈彩东,胡晓娜 章小戮,刘惠君(3498) 影响浑太河流域鱼类群落结构的不同尺度环境因子分析 李志华,自地丽,张芹,刘毅、贺春坤(3492) S-异丙甲草胺与镉对斜生栅藻光合作用的影响 陈彩东,胡晓娜 章小戮,刘惠君(3498) 影响浑太河流域鱼类群落结构的不同尺度环境因子分析 李艳利,李艳利,李艳粉,徐宗学(3504) 河口区新建河道轮虫群落演替及与水环境的关系 马文华,张玮,顾琬雯,张瑞雷,王丽卿(3513) Fontibacter sp. Sg2-2 厌氧腐殖质/Fe(Ⅲ)还原特性及电子传递机制研究 马晨,杨贵芹,陆琴,周顺桂(3522) 基于 UNMIX 模型的夹皮沟金矿区土壤重金属源解析 艾建超,王宁,杨净(3530) 石河子市土壤环境磁学特征及空间分布研究 杨涵,熊黑钢,陈字刚(3537) 不同施磷量(KH,PQ。)作用对 Cu、Zn 在红壤中的迁移转化 郭亮,李忠武,黄斌,王艳,张艳(3546) 硫素对水稻吸收砷的生物有效性及其在土壤中形态影响 杨世杰,唐冰培,王代长,饶伟,张亚楠,王丹,朱云集(3553) 硫对土壤中硒形态变化及油菜硒吸收的影响 刘新伟,段碧辉,夏全杰,矫威,郭再华,胡承孝,赵竹青(3564) 再生水灌溉对土壤化学性质及可培养微生物的影响 刘新伟,段碧辉,夏全杰,矫威,郭再华,胡承孝,赵竹青(3564)	
不同碳源在污水处理过程中的变化规律研究 金鹏康、常晋,王先宝,刘柯君,王晓昌(3443) 微波及其组合工艺强化污泥医氧消化研究 李祥,张大林,黄勇,陈宗姮,袁怡(3449) 微波及其组合工艺强化污泥医氧消化研究 刘吉宝,倪晓棠,魏源送,佟娟,王亚炜(3455) "热水解-高温厌氧消化"工艺处理高含固率剩余污泥的中试研究 吴静,王广启,曹知平,李中华,胡玉瑛,王凯军,左剑恶(3461) 温度对 ABR-MBR 复合工艺处理生活污水的影响及其微生物群落分析 吴鹏,陆爽君,徐乐中,刘捷,沈耀良(3466) 污水处理厂尾水细菌群落结构分析 徐爱玲,任杰、宋志文,吴等等,夏岩(3473) 沼液养殖钝顶螺旋藻的中试研究 国青青,刘锐、罗金飞,王根荣,陈吕军,刘笑(3480) 内源呼吸过程溶解性代谢产物的光谱特性分析 李志华,弘产,白旭丽,张芹,刘毅、贺春坤(3492) S-异丙甲草胺与镉对斜生栅藻光合作用的影响 陈彩东,胡晓娜 章小戮,刘惠君(3498) 影响浑太河流域鱼类群落结构的不同尺度环境因子分析 李志华,自地丽,张芹,刘毅、贺春坤(3492) S-异丙甲草胺与镉对斜生栅藻光合作用的影响 陈彩东,胡晓娜 章小戮,刘惠君(3498) 影响浑太河流域鱼类群落结构的不同尺度环境因子分析 李艳利,李艳利,李艳粉,徐宗学(3504) 河口区新建河道轮虫群落演替及与水环境的关系 马文华,张玮,顾琬雯,张瑞雷,王丽卿(3513) Fontibacter sp. Sg2-2 厌氧腐殖质/Fe(Ⅲ)还原特性及电子传递机制研究 马晨,杨贵芹,陆琴,周顺桂(3522) 基于 UNMIX 模型的夹皮沟金矿区土壤重金属源解析 艾建超,王宁,杨净(3530) 石河子市土壤环境磁学特征及空间分布研究 杨涵,熊黑钢,陈字刚(3537) 不同施磷量(KH,PQ。)作用对 Cu、Zn 在红壤中的迁移转化 郭亮,李忠武,黄斌,王艳,张艳(3546) 硫素对水稻吸收砷的生物有效性及其在土壤中形态影响 杨世杰,唐冰培,王代长,饶伟,张亚楠,王丹,朱云集(3553) 硫对土壤中硒形态变化及油菜硒吸收的影响 刘新伟,段碧辉,夏全杰,矫威,郭再华,胡承孝,赵竹青(3564) 再生水灌溉对土壤化学性质及可培养微生物的影响 刘新伟,段碧辉,夏全杰,矫威,郭再华,胡承孝,赵竹青(3564)	
不同碳源在污水处理过程中的变化规律研究 金鹏康、常晋,王先宝,刘柯君,王晓昌(3443) 微波及其组合工艺强化污泥医氧消化研究 李祥,张大林,黄勇,陈宗姮,袁怡(3449) 微波及其组合工艺强化污泥医氧消化研究 刘吉宝,倪晓棠,魏源送,佟娟,王亚炜(3455) "热水解-高温厌氧消化"工艺处理高含固率剩余污泥的中试研究 吴静,王广启,曹知平,李中华,胡玉瑛,王凯军,左剑恶(3461) 温度对 ABR-MBR 复合工艺处理生活污水的影响及其微生物群落分析 吴鹏,陆爽君,徐乐中,刘捷,沈耀良(3466) 污水处理厂尾水细菌群落结构分析 徐爱玲,任杰、宋志文,吴等等,夏岩(3473) 沼液养殖钝顶螺旋藻的中试研究 国青青,刘锐、罗金飞,王根荣,陈吕军,刘笑(3480) 内源呼吸过程溶解性代谢产物的光谱特性分析 李志华,弘产,白旭丽,张芹,刘毅、贺春坤(3492) S-异丙甲草胺与镉对斜生栅藻光合作用的影响 陈彩东,胡晓娜 章小戮,刘惠君(3498) 影响浑太河流域鱼类群落结构的不同尺度环境因子分析 李志华,自地丽,张芹,刘毅、贺春坤(3492) S-异丙甲草胺与镉对斜生栅藻光合作用的影响 陈彩东,胡晓娜 章小戮,刘惠君(3498) 影响浑太河流域鱼类群落结构的不同尺度环境因子分析 李艳利,李艳利,李艳粉,徐宗学(3504) 河口区新建河道轮虫群落演替及与水环境的关系 马文华,张玮,顾琬雯,张瑞雷,王丽卿(3513) Fontibacter sp. Sg2-2 厌氧腐殖质/Fe(Ⅲ)还原特性及电子传递机制研究 马晨,杨贵芹,陆琴,周顺桂(3522) 基于 UNMIX 模型的夹皮沟金矿区土壤重金属源解析 艾建超,王宁,杨净(3530) 石河子市土壤环境磁学特征及空间分布研究 杨涵,熊黑钢,陈字刚(3537) 不同施磷量(KH,PQ。)作用对 Cu、Zn 在红壤中的迁移转化 郭亮,李忠武,黄斌,王艳,张艳(3546) 硫素对水稻吸收砷的生物有效性及其在土壤中形态影响 杨世杰,唐冰培,王代长,饶伟,张亚楠,王丹,朱云集(3553) 硫对土壤中硒形态变化及油菜硒吸收的影响 刘新伟,段碧辉,夏全杰,矫威,郭再华,胡承孝,赵竹青(3564) 再生水灌溉对土壤化学性质及可培养微生物的影响 刘新伟,段碧辉,夏全杰,矫威,郭再华,胡承孝,赵竹青(3564)	
不同碳源在污水处理过程中的变化规律研究 金鹏康、常晋,王先宝,刘柯君,王晓昌(3443) 微波及其组合工艺强化污泥医氧消化研究 李祥,张大林,黄勇,陈宗姮,袁怡(3449) 微波及其组合工艺强化污泥医氧消化研究 刘吉宝,倪晓棠,魏源送,佟娟,王亚炜(3455) "热水解-高温厌氧消化"工艺处理高含固率剩余污泥的中试研究 吴静,王广启,曹知平,李中华,胡玉瑛,王凯军,左剑恶(3461) 温度对 ABR-MBR 复合工艺处理生活污水的影响及其微生物群落分析 吴鹏,陆爽君,徐乐中,刘捷,沈耀良(3466) 污水处理厂尾水细菌群落结构分析 徐爱玲,任杰、宋志文,吴等等,夏岩(3473) 沼液养殖钝顶螺旋藻的中试研究 国青青,刘锐、罗金飞,王根荣,陈吕军,刘笑(3480) 内源呼吸过程溶解性代谢产物的光谱特性分析 李志华,弘产,白旭丽,张芹,刘毅、贺春坤(3492) S-异丙甲草胺与镉对斜生栅藻光合作用的影响 陈彩东,胡晓娜 章小戮,刘惠君(3498) 影响浑太河流域鱼类群落结构的不同尺度环境因子分析 李志华,自地丽,张芹,刘毅、贺春坤(3492) S-异丙甲草胺与镉对斜生栅藻光合作用的影响 陈彩东,胡晓娜 章小戮,刘惠君(3498) 影响浑太河流域鱼类群落结构的不同尺度环境因子分析 李艳利,李艳利,李艳粉,徐宗学(3504) 河口区新建河道轮虫群落演替及与水环境的关系 马文华,张玮,顾琬雯,张瑞雷,王丽卿(3513) Fontibacter sp. Sg2-2 厌氧腐殖质/Fe(Ⅲ)还原特性及电子传递机制研究 马晨,杨贵芹,陆琴,周顺桂(3522) 基于 UNMIX 模型的夹皮沟金矿区土壤重金属源解析 艾建超,王宁,杨净(3530) 石河子市土壤环境磁学特征及空间分布研究 杨涵,熊黑钢,陈字刚(3537) 不同施磷量(KH,PQ。)作用对 Cu、Zn 在红壤中的迁移转化 郭亮,李忠武,黄斌,王艳,张艳(3546) 硫素对水稻吸收砷的生物有效性及其在土壤中形态影响 杨世杰,唐冰培,王代长,饶伟,张亚楠,王丹,朱云集(3553) 硫对土壤中硒形态变化及油菜硒吸收的影响 刘新伟,段碧辉,夏全杰,矫威,郭再华,胡承孝,赵竹青(3564) 再生水灌溉对土壤化学性质及可培养微生物的影响 刘新伟,段碧辉,夏全杰,矫威,郭再华,胡承孝,赵竹青(3564)	
不同碳源在污水处理过程中的变化规律研究 金鹏康、常晋,王先宝,刘柯君,王晓昌(3443) 微波及其组合工艺强化污泥医氧消化研究 李祥,张大林,黄勇,陈宗姮,袁怡(3449) 微波及其组合工艺强化污泥医氧消化研究 刘吉宝,倪晓棠,魏源送,佟娟,王亚炜(3455) "热水解-高温厌氧消化"工艺处理高含固率剩余污泥的中试研究 吴静,王广启,曹知平,李中华,胡玉瑛,王凯军,左剑恶(3461) 温度对 ABR-MBR 复合工艺处理生活污水的影响及其微生物群落分析 吴鹏,陆爽君,徐乐中,刘捷,沈耀良(3466) 污水处理厂尾水细菌群落结构分析 徐爱玲,任杰、宋志文,吴等等,夏岩(3473) 沼液养殖钝顶螺旋藻的中试研究 国青青,刘锐、罗金飞,王根荣,陈吕军,刘笑(3480) 内源呼吸过程溶解性代谢产物的光谱特性分析 李志华,弘产,白旭丽,张芹,刘毅、贺春坤(3492) S-异丙甲草胺与镉对斜生栅藻光合作用的影响 陈彩东,胡晓娜 章小戮,刘惠君(3498) 影响浑太河流域鱼类群落结构的不同尺度环境因子分析 李志华,自地丽,张芹,刘毅、贺春坤(3492) S-异丙甲草胺与镉对斜生栅藻光合作用的影响 陈彩东,胡晓娜 章小戮,刘惠君(3498) 影响浑太河流域鱼类群落结构的不同尺度环境因子分析 李艳利,李艳利,李艳粉,徐宗学(3504) 河口区新建河道轮虫群落演替及与水环境的关系 马文华,张玮,顾琬雯,张瑞雷,王丽卿(3513) Fontibacter sp. Sg2-2 厌氧腐殖质/Fe(Ⅲ)还原特性及电子传递机制研究 马晨,杨贵芹,陆琴,周顺桂(3522) 基于 UNMIX 模型的夹皮沟金矿区土壤重金属源解析 艾建超,王宁,杨净(3530) 石河子市土壤环境磁学特征及空间分布研究 杨涵,熊黑钢,陈字刚(3537) 不同施磷量(KH,PQ。)作用对 Cu、Zn 在红壤中的迁移转化 郭亮,李忠武,黄斌,王艳,张艳(3546) 硫素对水稻吸收砷的生物有效性及其在土壤中形态影响 杨世杰,唐冰培,王代长,饶伟,张亚楠,王丹,朱云集(3553) 硫对土壤中硒形态变化及油菜硒吸收的影响 刘新伟,段碧辉,夏全杰,矫威,郭再华,胡承孝,赵竹青(3564) 再生水灌溉对土壤化学性质及可培养微生物的影响 刘新伟,段碧辉,夏全杰,矫威,郭再华,胡承孝,赵竹青(3564)	
不同碳源在污水处理过程中的变化规律研究 金鹏康、常晋,王先宝,刘柯君,王晓昌(3443) 微波及其组合工艺强化污泥医氧消化研究 李祥,张大林,黄勇,陈宗姮,袁怡(3449) 微波及其组合工艺强化污泥医氧消化研究 刘吉宝,倪晓棠,魏源送,佟娟,王亚炜(3455) "热水解-高温厌氧消化"工艺处理高含固率剩余污泥的中试研究 吴静,王广启,曹知平,李中华,胡玉瑛,王凯军,左剑恶(3461) 温度对 ABR-MBR 复合工艺处理生活污水的影响及其微生物群落分析 吴鹏,陆爽君,徐乐中,刘捷,沈耀良(3466) 污水处理厂尾水细菌群落结构分析 徐爱玲,任杰、宋志文,吴等等,夏岩(3473) 沼液养殖钝顶螺旋藻的中试研究 国青青,刘锐、罗金飞,王根荣,陈吕军,刘笑(3480) 内源呼吸过程溶解性代谢产物的光谱特性分析 李志华,弘产,白旭丽,张芹,刘毅、贺春坤(3492) S-异丙甲草胺与镉对斜生栅藻光合作用的影响 陈彩东,胡晓娜 章小戮,刘惠君(3498) 影响浑太河流域鱼类群落结构的不同尺度环境因子分析 李志华,自地丽,张芹,刘毅、贺春坤(3492) S-异丙甲草胺与镉对斜生栅藻光合作用的影响 陈彩东,胡晓娜 章小戮,刘惠君(3498) 影响浑太河流域鱼类群落结构的不同尺度环境因子分析 李艳利,李艳利,李艳粉,徐宗学(3504) 河口区新建河道轮虫群落演替及与水环境的关系 马文华,张玮,顾琬雯,张瑞雷,王丽卿(3513) Fontibacter sp. Sg2-2 厌氧腐殖质/Fe(Ⅲ)还原特性及电子传递机制研究 马晨,杨贵芹,陆琴,周顺桂(3522) 基于 UNMIX 模型的夹皮沟金矿区土壤重金属源解析 艾建超,王宁,杨净(3530) 石河子市土壤环境磁学特征及空间分布研究 杨涵,熊黑钢,陈字刚(3537) 不同施磷量(KH,PQ。)作用对 Cu、Zn 在红壤中的迁移转化 郭亮,李忠武,黄斌,王艳,张艳(3546) 硫素对水稻吸收砷的生物有效性及其在土壤中形态影响 杨世杰,唐冰培,王代长,饶伟,张亚楠,王丹,朱云集(3553) 硫对土壤中硒形态变化及油菜硒吸收的影响 刘新伟,段碧辉,夏全杰,矫威,郭再华,胡承孝,赵竹青(3564) 再生水灌溉对土壤化学性质及可培养微生物的影响 刘新伟,段碧辉,夏全杰,矫威,郭再华,胡承孝,赵竹青(3564)	
不同碳源在污水处理过程中的变化规律研究 金鹏康、常晋,王先宝,刘柯君,王晓昌(3443) 微波及其组合工艺强化污泥医氧消化研究 李祥,张大林,黄勇,陈宗姮,袁怡(3449) 微波及其组合工艺强化污泥医氧消化研究 刘吉宝,倪晓棠,魏源送,佟娟,王亚炜(3455) "热水解-高温厌氧消化"工艺处理高含固率剩余污泥的中试研究 吴静,王广启,曹知平,李中华,胡玉瑛,王凯军,左剑恶(3461) 温度对 ABR-MBR 复合工艺处理生活污水的影响及其微生物群落分析 吴鹏,陆爽君,徐乐中,刘捷,沈耀良(3466) 污水处理厂尾水细菌群落结构分析 徐爱玲,任杰、宋志文,吴等等,夏岩(3473) 沼液养殖钝顶螺旋藻的中试研究 国青青,刘锐、罗金飞,王根荣,陈吕军,刘笑(3480) 内源呼吸过程溶解性代谢产物的光谱特性分析 李志华,弘产,白旭丽,张芹,刘毅、贺春坤(3492) S-异丙甲草胺与镉对斜生栅藻光合作用的影响 陈彩东,胡晓娜 章小戮,刘惠君(3498) 影响浑太河流域鱼类群落结构的不同尺度环境因子分析 李志华,自地丽,张芹,刘毅、贺春坤(3492) S-异丙甲草胺与镉对斜生栅藻光合作用的影响 陈彩东,胡晓娜 章小戮,刘惠君(3498) 影响浑太河流域鱼类群落结构的不同尺度环境因子分析 李艳利,李艳利,李艳粉,徐宗学(3504) 河口区新建河道轮虫群落演替及与水环境的关系 马文华,张玮,顾琬雯,张瑞雷,王丽卿(3513) Fontibacter sp. Sg2-2 厌氧腐殖质/Fe(Ⅲ)还原特性及电子传递机制研究 马晨,杨贵芹,陆琴,周顺桂(3522) 基于 UNMIX 模型的夹皮沟金矿区土壤重金属源解析 艾建超,王宁,杨净(3530) 石河子市土壤环境磁学特征及空间分布研究 杨涵,熊黑钢,陈字刚(3537) 不同施磷量(KH,PQ。)作用对 Cu、Zn 在红壤中的迁移转化 郭亮,李忠武,黄斌,王艳,张艳(3546) 硫素对水稻吸收砷的生物有效性及其在土壤中形态影响 杨世杰,唐冰培,王代长,饶伟,张亚楠,王丹,朱云集(3553) 硫对土壤中硒形态变化及油菜硒吸收的影响 刘新伟,段碧辉,夏全杰,矫威,郭再华,胡承孝,赵竹青(3564) 再生水灌溉对土壤化学性质及可培养微生物的影响 刘新伟,段碧辉,夏全杰,矫威,郭再华,胡承孝,赵竹青(3564)	
不同碳源在污水处理过程中的变化规律研究	
不同碳源在污水处理过程中的变化规律研究 金廳康、常晋、王先宝、刘柯君、王晓昌(3443) (有)持裝置对厌氧氨氧化反应器脱氮效能的影响 李祥、张大林、黄勇、陈宗矩、袁恰(3449) 微波及其组合工艺强化污泥厌氧消化研究 刘吉宝、倪晓棠、魏源送、佟娟、王亚炜(3455) "热水解-高温厌氧消化"工艺处理高含固率剩余污泥的中试研究 吴静、王广启,曹知平、李中华、胡玉瑛、王凯军、左剑恶(3461) 温度对 ABR-MBR 复合工艺处理生活污水的影响及其微生物群落分析 吴鹏、陆爽君、徐乐中、刘捷、沈耀良(3466) 污水处理厂尾水细菌群落结构分析 徐爱玲,任杰、宋志文,吴等等,夏岩(3473) 沼液养殖钝顶螺旋藻的中试研究 国青青、刘锐、罗金飞、王根荣、陈吕军、刘笑(3480) 内源呼吸过程溶解性代谢产物的光谱特性分析 李志华、张芹、白旭丽、张芹、刘毅(3487) 基于呼吸图谱的自养菌与异养菌内源呼吸过程分析 李志华、张芹、白旭丽、张芹、刘毅、贺春博(3492) S-异丙甲草胺与镉对斜生栅藻光合作用的影响 陈彩东、胡晓娜、章小强、刘惠君(3498) 影响浑太河流域鱼类群落结构的不同尺度环境因子分析 李志华、成时、刘惠君(3498) 影响浑太河流域鱼类群落诸特的子同尺度环境因子分析 李志华、成婚、崇学(3504) 河口区新建山道轮虫群落演者及与水环境的关系 马文华、张玮、顾琬雯、张瑞雷、王丽卿(3513) Fontibacter sp. SgZ-2 厌氧腐殖质/Fe(Ⅲ)还原特性及电子传递机制研究 马晨、杨贵芹、陆琴、周顺桂(3522) 基于 UNMIX 模型的夹皮沟金矿区土壤重金属源解析 艾建超、王宁、杨净(3530) 石河子市土壤环境磁学特征及空间分布研究 杨涵、熊黑钢、陈学刚(3537) 不同施磷量(KH, PO。)作用对 Cu、Zn 在红壤中的迁移转化 郭亮、李忠武、黄斌、王艳、张艳(3546) 硫素对水稻吸收砷的生物有效性及其在土壤中形态影响 杨世杰,唐冰培、王代长、烧伟、张亚楠、王丹、朱云集(3553) 硫对水稻吸收砷的生物有效性及其在土壤中形态影响 杨世杰,唐冰培、王代长、烧棉、张亚楠、王丹,朱云集(3553) 疏对土壤中晒形态变化及油菜硒吸收的影响 刘新伟、段碧辉、夏全杰、娇威、郭再华、胡承孝、赵竹青(3564) 再生水灌溉对十壤化学性质及可磨养微生物的影响 如新伟、段碧辉、夏全杰、娇威、郭再华、胡承孝,赵竹青(3564)	

## 大辽河感潮段及其近海河口重金属空间分布及污染评价

张雷<sup>1,2</sup>,秦延文<sup>1,2\*</sup>,马迎群<sup>1,2</sup>,赵艳民<sup>1,2\*</sup>,时瑶<sup>1,2</sup>

(1. 中国环境科学研究院环境基准与风险评估国家重点实验室,北京 100012; 2. 中国环境科学研究院环境保护河口与海岸带环境重点实验室,北京 100012)

摘要:为了解大辽河感潮段及其近海河口重金属污染水平,对其上覆水、悬浮颗粒物和表层沉积物中6种重金属(As、Cd、Cr、Cu、Pb、Zn)的含量及空间分布分别进行了研究,并分别采用综合污染指数法和地累积指数法对其水体和表层沉积物重金属污染程度进行评价. 结果表明,研究区域上覆水重金属浓度的高低顺序为Pb < Cu < Cd < Cr < As < Zn. 上覆水重金属浓度由河向海基本呈上升趋势. 与国内典型河口表层水体重金属浓度相比,研究区域上覆水重金属浓度整体处于较高水平. 悬浮颗粒物中重金属含量变化为Cd < Cu < As < Cr < Pb < Zn. As、Cd、Cr、Cu、Pb 的沿程变化特征比较相似,且Cd、Cr、Cu 均在河口区的EM3 站出现最高峰. 表层沉积物中重金属含量的高低顺序为Cd < Cu < Pb < As < Cr < Zn. 表层沉积物中重金属 As、Cd、Cr 和Cu 的最高值亦均出现在河口段的EM3 站. 研究区域水温、pH、DO、EC等很多因素均影响到重金属在水、悬浮物、沉积物间的分布,其中盐度和悬浮颗粒物的影响比较显著. 采用综合污染指数评价法表明,研究区域大部分水体水质良好,个别站位重金属污染比较突出. 采用地累积指数法评价表明,研究区域表层沉积物主要存在个别站位的As 污染.

关键词:大辽河;感潮段及其近海河口;重金属;空间分布;污染评价

中图分类号: X52 文献标识码: A 文章编号: 0250-3301(2014)09-3336-10 DOI: 10.13227/j. hjkx. 2014. 09. 013

# Spatial Distribution and Pollution Assessment of Heavy Metals in the Tidal Reach and Its Adjacent Sea Estuary of Daliaohe Area, China

ZHANG Lei<sup>1,2</sup>, QIN Yan-wen<sup>1,2</sup>, MA Ying-qun<sup>1,2</sup>, ZHAO Yan-min<sup>1,2</sup>, SHI Yao<sup>1,2</sup>

(1. National Key Laboratory of Environmental Criteria and Risk Assessment, Chinese Research Academy of Environmental Sciences, Beijing 100012, China; 2. State Environmental Protection Key Laboratory of Estuarine and Coastal Environment, Water Research Institute, Chinese Research Academy of Environmental Sciences, Beijing 100012, China)

Abstract: The aim of this article was to explore the pollution level of heavy metals in the tidal reach and its adjacent sea estuary of Daliaohe area. The contents and spatial distribution of As, Cd, Cr, Cu, Pb and Zn in surface water, suspended solids and surface sediments were analyzed respectively. The integrated pollution index and geoaccumulation index were used to evaluate the contamination degree of heavy metals in surface water and surface sediments respectively. The results indicated that the contents of heavy metals in surface water was in the order of Pb < Cu < Cd < Cr < As < Zn. The heavy metal contents in surface water increased from river to sea. Compared with the contents of heavy metals in surface water of the typical domestic estuary in China, the overall contents of heavy metals in surface water were at a higher level. The contents of heavy metals in suspended solids was in the order of Cd < Cu < As < Cr < Pb < Zn. Similar patterns of spatial distribution in suspended solids were observed for As, Cd, Cr, Cu and Pb, and the highest contents of Cr, Cu, Cd appeared at EM3 station. The contents of heavy metals in surface sediments was in the order of Cd < Cu < Pb < As < Cr < Zn. The highest contents of Cr, Cu, Cd and As in surface sediments also appeared at EM3 station. Temperature, pH, DO, EC and other factors affected the distribution of heavy metals in water, suspended solids and sediment. In particular, the effects of salinity and suspended solids matter were most significant. The integrated pollution index assessment showed that the water quality was good except individual stations. The geoaccumulation index assessment showed that As was the major pollution element in surface sediments.

Key words: Daliaohe; the tidal reach and its adjacent sea estuary; heavy metal; spatial distribution; pollution assessment

河口是陆地径流与海水相互混合的地区,是物质与能量交换最频繁和影响最显著的地方,河口过程对决定河流与海洋之间的化学质量平衡有重要的作用<sup>[1]</sup>.

辽河主要是由东、西两大支流组成,发源于河 北省的西辽河和发源于吉林省的东辽河在辽宁省昌 图汇合,后于盘山县引入双台子河入海,这一段河流 又称下辽河. 1958 年以后,将辽河主流全部引向双 台子河,由盘山县人海.将辽河的支流浑河、太子河汇合后单独在营口市人海,这一段河流称大辽河<sup>[2]</sup>.大辽河多年平均年径流量7.715×10<sup>9</sup> m<sup>3</sup>,占

收稿日期: 2014-02-19; 修订日期: 2014-03-27

基金项目: 国家水体污染控制与治理科技重大专项(2012ZX07503-

002)

作者简介: 张雷(1975~),男,高级工程师,主要研究方向为环境工程、环境化学,E-mail:zhang\_lei@craes.org.cn

<sup>\*</sup> 通讯联系人,E-mail:qinyw@ craes. org. cn

辽东湾入海径流量的 55. 32%,大辽河流经沈阳、抚顺、鞍山、本溪、辽阳、铁岭、营口、盘锦等众多工业城镇,沿途携带大量工农业废水废物,使大辽河及河口海域重金属含量超标<sup>[3]</sup>.大辽河口有广阔的滩涂、湿地和大面积的浅水资源,蕴藏着海洋渔业、油气、盐业、交通、旅游等丰富的资源,是辽宁 21世纪向海洋发展的重要基地,也是我国乃至世界著名的河口湿地资源.但是近年来该地区的环境受到了污染物的威胁,海洋环境质量状况十分严峻<sup>[1]</sup>.

重金属因其在环境中的不可破坏性及对生物的 毒性,使得重金属污染成为水环境污染评价的重要 内容[4]. 目前有关大辽河的研究尤其是在重金属方 面的研究已经做了大量的工作. 刘娟等[2]根据2006 年对大辽河口及河口邻近海域的检测结果,分析了 溶解态 Cd、Cu、Pb、Zn 的污染状况; 王小静等[5]对 大辽河口表层水中溶解态重金属的变化特征及影响 因素作了研究;金鑫等[6]对大辽河营口段潮汐对重 金属变化的影响作了研究. 至今关于大辽河感潮段 及其近海河口上覆水、悬浮颗粒物及表层沉积物中 重金属的研究尚鲜见报道. 本文主要以大辽河感潮 段及其近海河口上覆水、悬浮颗粒物及表层沉积物 为研究对象,对其中6种重金属(As、Cd、Cr、Cu、 Pb、Zn)的含量及空间分布进行研究,并采用综合污 染指数法和地累积指数法对其水体重金属污染及表 层沉积物重金属污染程度进行定量评价,以期为保 障大辽河口区水质安全及对大辽河海洋生物和人类 的影响的研究提供科学依据.

#### 1 材料与方法

#### 1.1 站位设置

本次调查时间为2013年5月,调查监测的区域为大辽河感潮河段和近海河口区,此河段中,径流与潮水相互混合、相互作用.大辽河营口段属于感潮河段,枯水期潮水顺着河道逆流而上可至浑河的三界泡及太子河的唐马寨<sup>[6]</sup>.在感潮河段布设17个站位(L01~L17),在河口邻近海域布设10个站位(EL1~EL3,EM1~EM4,ER1~ER3),其中ER1位于大辽河的入海口,河口邻近海域的10个站位平面呈扇形布局.从L17~L01距离入海口越来越远,L01距离最远,在小亮沟村附近.具体采样点站位设置如图1所示.

#### 1.2 样品采集与处理

(1)上覆水和悬浮颗粒物样品的处理 用采水器采得水样,分装于500 mL 容积的塑料瓶中冷藏保

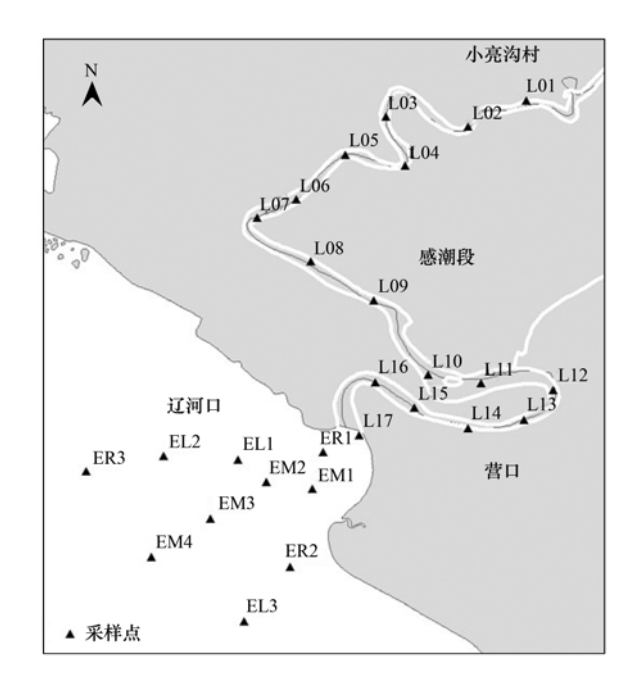


图 1 大辽河感潮段及其近海河口采样示意

Fig. 1 Sampling sites in the tidal reach and its adjacent sea estuary of Daliaohe area, China

存. Whatman 公司生产的 0.45 μm 醋酸纤维微孔滤膜预先使用 5% 硝酸浸泡,高纯水清洗,低温烘干  $(60^{\circ})$  至恒重,分上、下滤膜编号备用. 使用经预处理的上、下滤膜过滤分离悬浮颗粒物与上覆水,收集滤液后酸化用于测定上覆水中重金属含量,同时低温 $(50^{\circ})$  烘干滤膜至衡重得到悬浮颗粒物待测.

(2)表层沉积物样品的采集与处理 用抓斗式重力采泥器采集表层沉积物样品,用木勺取顶部0~5 cm表层沉积物,将样品装入聚乙烯袋中密封,在实验室中于-20℃条件下冷冻保存,经 FD-1A-50型冷冻干燥机(西安德派生物仪器有限公司)冷冻干燥处理,用研钵研磨,过 100 目(0.149 mm) 筛,保存于封口袋中,置于干燥器中. 沉积物样品测定重金属时采用 HNO<sub>3</sub> + HF 微波消解法消解处理待测.

#### 1.3 分析方法

(1)重金属总量分析方法 经预处理后的上覆水样和沉积物样品,利用电感耦合等离子体质谱 (ICP-MS,美国 Agilent7500cx 型)测定样品中6种重金属 As、Cd、Cr、Cu、Pb、Zn总量;分析过程中所用聚四氟乙烯容器均在1:1硝酸中浸泡48h以上,玻璃容器浸泡24h,高纯水冲洗后晾干.分析所用酸均为优级纯,水为高纯水.

悬浮颗粒物重金属的总量分析方法:将过滤后

烘干衡重的上滤膜放入微波消解管,余下步骤同表 层沉积物重金属总量分析方法.

实验过程中每批样品均做全程空白,以消除在样品处理及测定过程中可能带入的污染.同时同步分析了由国家有色金属及电子材料分析测试中心生产的多元素标准样品(GSB 04-1767-2004)和由地球物理地球化学勘查研究所生产的水系沉积物成分分析标准(GBW 07309),以控制样品分析的精密度和准确度.重金属元素平行样的相对误差 < 5%,标准物的回收率在 80% ~ 120% 之间.

(2)水体重金属污染评价采用综合污染指数评价法 国内学者针对水体重金属污染评价,采取的评价方法很多,其中重金属元素综合污染指数评价法应用比较广泛[7-9].该方法适用于淡水和海水,不同的水体环境采用不同的水体标准,此方法不仅

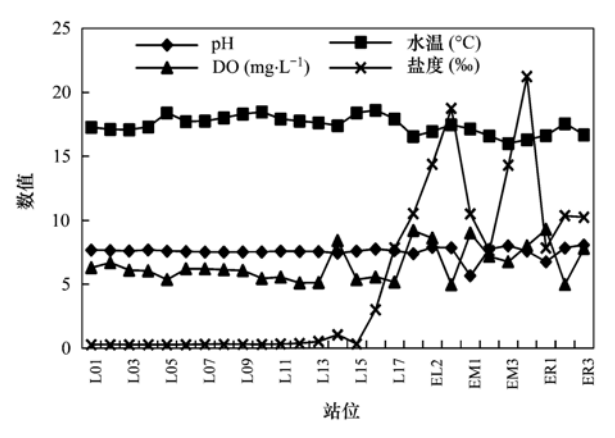
出整个站位不同重金属元素的综合污染指数,反映重金属的综合污染程度<sup>[10]</sup>. (3)表层沉积物重金属污染评价采用地累积指数评价注,地累积指数注导利用重金属浓度与背景

能够得出单个重金属元素的污染指数,而且能够得

(3)表层沉积物重金属污染评价采用地累积指数评价法 地累积指数法是利用重金属浓度与背景值的关系来确定重金属污染程度的参数,它能很直观地反映重金属污染级别<sup>[10]</sup>.

#### 2 结果与讨论

2.1 水体 pH、水温、DO、盐度、EC 沿程变化特征 从图 2 可以看出,研究区域水体的 pH 整体变化比较平稳,仅在河口区小幅波动. pH 范围为 5.67 ~8.08,平均值为 7.55.除 EM1 和 ER1 站外,pH 均大于 7,属于中性偏碱性水平,最高值出现在河口区的 ER3 站位,最低值出现在河口区的 EM1 站位.



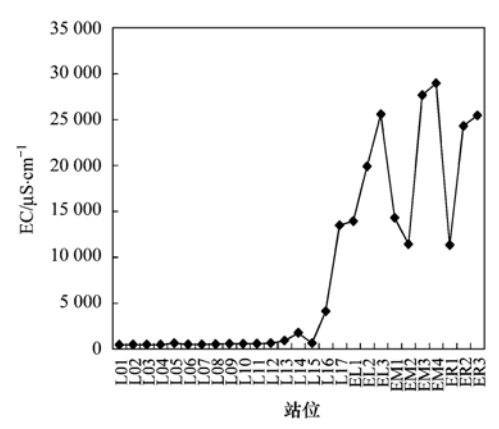


图 2 pH、水温、DO、盐度和 EC 的变化

Fig. 2 Changes of pH, temperature, DO, salinity and EC

水温的沿程波动变化比较平稳, 其范围为 16.00~18.58℃, 平均值为17.43℃, 最高值出现在 感潮段的L16站, 最低值出现在河口区的EM3站.

水体 DO 沿程变化整体比较平稳,但从感潮段的 L13 站开始,出现了小幅波动. DO 含量范围为 4.98 ~9.29  $\mathrm{mg} \cdot \mathrm{L}^{-1}$ ,平均值为 6.55  $\mathrm{mg} \cdot \mathrm{L}^{-1}$ ,最高值出现在河口区的 ER1 站,最低值出现在河口区的 EL3 站.

盐度的沿程变化在感潮段表现平稳,但从感潮段 L15 站开始,盐度出现较大的波峰与波谷交替变化. 盐度的范围为 0.28% ~ 21.22%,平均值为5.27%,最高值出现在河口区的 EM4 站,最低值出现在潮段的 L01 站位.

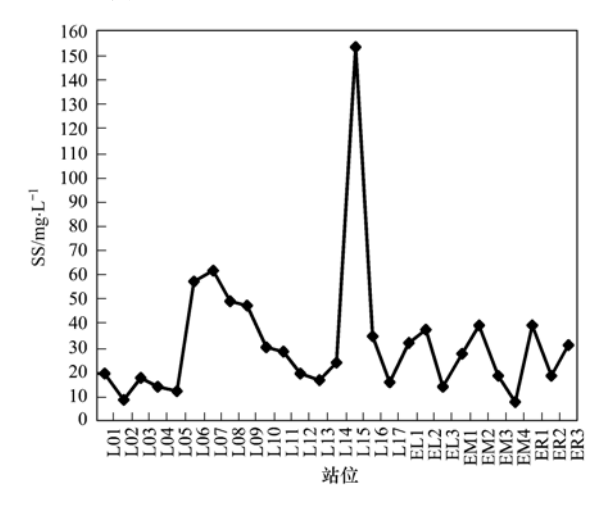
水的 EC 是衡量水质的一个重要指标,反映水中电解质的含量. 在一定的温度下,水中的 EC 与其含盐量呈线性关系,相关系数很高[11]. 研究区域水体 EC 沿程变化整体波动较大,这可能与水体的盐

度有关. 在感潮段前部分 EC 变化平缓,此段处于感潮区,盐度较小,表现平稳. 但从 L15 站开始,EC 迅速增大,随后出现波峰与波谷的交替变化,这与盐度的变化一致,与河口区盐度变化较大有关. EC 范围为 467 ~ 28 989  $\mu$ S·cm<sup>-1</sup>,平均值为8 529.89  $\mu$ S·cm<sup>-1</sup>,最高值出现在河口区的 EM4 站,最低值出现在感潮段的 L01 站.

#### 2.2 水体悬浮颗粒物含量分布

从图 3 可以看出,研究区域悬浮颗粒物整体呈现远离河口逐渐升高的趋势,在 L15 站出现一个最大的波峰.分析表明,悬浮颗粒物的范围为 8.00~154.00 mg·L<sup>-1</sup>,平均值为 32.84 mg·L<sup>-1</sup>.最高值出现在感潮段的 L15 站,这可能是由于此点所处的感潮段,两侧村庄、渡口、码头等较多,人为活动多且口门内水道较窄<sup>[5]</sup>,水体交换有限,且该点位的透明度在所有监测点位中处于次低的水平,水体较混

浊.此外,该点靠近岸边,陆源悬浮物的加入会使悬浮物浓度加大,导致悬浮颗粒物含量最高.最低值出现在河口段的 EM4 站.感潮段的悬浮颗粒物含量范围为 9.40~154.00 mg·L<sup>-1</sup>,平均值为 36.36 mg·L<sup>-1</sup>.河口区的悬浮颗粒物含量范围为 8.00~39.60 mg·L<sup>-1</sup>,平均值为 26.86 mg·L<sup>-1</sup>.感潮段的悬浮颗粒物平均含量约为河口区的 1.35 倍,这可能亦与感潮段本身所处环境有关,两侧村庄、渡口、码头等人为活动因素多,且近岸处陆源悬浮物的加入会使悬浮物浓度加大以及海浪、海流等水动力学因素也会使得再悬浮作用可能加大,从而导致感潮段含量较高<sup>[12]</sup>.



#### 图 3 悬浮颗粒物含量的分布

Fig. 3 Distribution of suspended solids contents

#### 2.3 各相重金属分布特征

#### 2.3.1 上覆水中重金属含量分布

研究区域结果表明上覆水中 Cr 的含量范围为  $0 \sim 2.89 \, \mu g \cdot L^{-1}$ , 平均值为  $0.81 \, \mu g \cdot L^{-1}$ . Cu 的含量范围为  $0 \sim 0.49 \, \mu g \cdot L^{-1}$ , 平均值为  $0.08 \, \mu g \cdot L^{-1}$ . Zn 的含量范围为  $2.34 \sim 121.80 \, \mu g \cdot L^{-1}$ , 平均值为

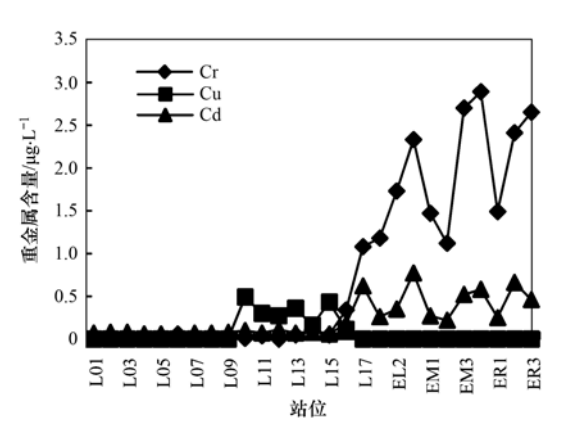
25. 43  $\mu$ g·L<sup>-1</sup>. As 的含量范围为 0. 52 ~ 27. 72  $\mu$ g·L<sup>-1</sup>, 平均值为 8. 59  $\mu$ g·L<sup>-1</sup>. Cd 的含量范围为 0. 06 ~ 0. 77  $\mu$ g·L<sup>-1</sup>, 平均值为 0. 23  $\mu$ g·L<sup>-1</sup>. 上覆水中未检测到 Pb 的浓度. 上覆水中重金属含量的高低顺序为 Pb < Cu < Cd < Cr < As < Zn.

从上覆水中重金属的沿程变化看(图 4),重金属 As、Cd、Cr、Zn 含量总体上均为河口区高于感潮段. Cu 正相反,为河口区低于感潮段. 这与陈泽夏<sup>[13]</sup>的研究结果相似.

从感潮段到河口区沿程分布看,前者大体表现出"低-高"型分布,而 Cu 则表现出"低-高-低"型分布特征.

具体分析,Cd、Cr的沿程变化特征为在感潮段的前段比较相似,变化较小,含量较低. 从感潮段的L15 站开始,Cr和 Cd的浓度开始出现波峰与波谷交替变化的特征,Cd的最高峰出现在河口区的 EL3站. Cr在河口区的 EM4站出现最高峰. 而 As 在感潮段表现平稳,变化不大,在河口区开始出现较大的波峰与波谷交替变化的特征,亦在河口区的 EM4站出现最高峰. Zn的变化特征表现为从感潮段的 L01站开始逐渐降低并持续保持低值,直到从河口区的EL1站开始出现较大的波动变化,且在河口区的EL2站出现最高峰. Cu在感潮段前段表现平稳,从L09站开始,出现波峰与波谷交替变化的特征,在感潮段的 L10站出现最高峰.

与国内几大典型的河口表层水体重金属含量相比(表1),可以看出研究区域上覆水中 Pb 和 Cu 的平均含量普遍低于其他河口,而 Cd、Cr、Zn 的含量则表现为均高于长江口和珠江口,低于黄河口.研究区域 As 的含量则远远高于珠江口和黄河口,分别为珠江口和黄河口的 33 倍和 3.2 倍.可以看出研究区域上覆水中重金属含量整体处于较高水平.



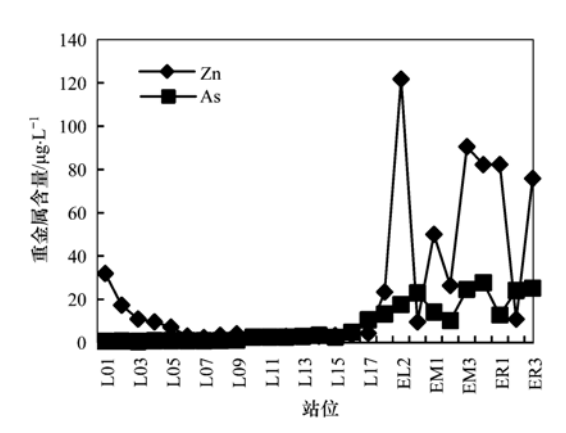


图 4 上覆水中重金属含量分布

Fig. 4 Spatial distribution of heavy metal contents in surface water

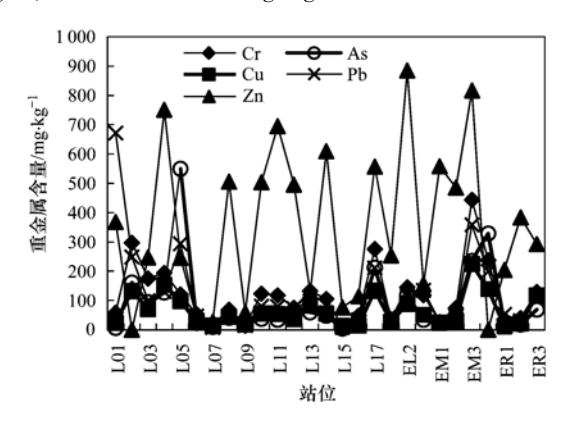
表 1 不同河口表层水体重金属含量对比/µg·L·	表 1	不同河口表	层水体重金	<b>문全물</b> 되	tk/ug·L
---------------------------	-----	-------	-------	--------------	---------

Table 1 (	Concentrations of hea	v metals in surface	water in different	Estuary of	China/ug·L <sup>-1</sup>
-----------	-----------------------	---------------------	--------------------	------------	--------------------------

地点	Cd	Pb	Zn	Cu	Cr	As	文献
长江口	0. 07	0. 81	9. 32	1. 01	0. 31	_	[ 14 ]
珠江口	0. 15	0. 78	8. 28	1.08	0. 53	0. 26	[ 15 ]
黄河口	0.42	26. 30	51.00	32. 70	21. 40	2. 68	[1]
大辽河口	0. 23	0	25. 43	0.08	0.81	8. 59	本研究

#### 2.3.2 悬浮颗粒物中重金属含量分布

调查结果分析表明,研究区域悬浮颗粒物中 Cu 含量范围为 12.65 ~ 224.57  $\mathrm{mg \cdot kg^{-1}}$ , 平均值为 65.37  $\mathrm{mg \cdot kg^{-1}}$ . Cr 的含量范围为 12.00 ~ 444.15  $\mathrm{mg \cdot kg^{-1}}$ , 平均值为 117.92  $\mathrm{mg \cdot kg^{-1}}$ . Zn 的含量范围为 0 ~ 884.69  $\mathrm{mg \cdot kg^{-1}}$ , 平均值为 350.40  $\mathrm{mg \cdot kg^{-1}}$ . As 的含量范围为 4.42 ~ 549.92  $\mathrm{mg \cdot kg^{-1}}$ , 平均值为 90.95  $\mathrm{mg \cdot kg^{-1}}$ . Cd 的含量范围



为 0.  $16 \sim 10.21 \text{ mg} \cdot \text{kg}^{-1}$ , 平均值为 2.  $02 \text{ mg} \cdot \text{kg}^{-1}$ . Pb 的含量范围为 8.  $57 \sim 671.34 \text{ mg} \cdot \text{kg}^{-1}$ , 平均值为 123.  $68 \text{ mg} \cdot \text{kg}^{-1}$ . 悬浮颗粒物中重金属含量变化为 Cd < Cu < As < Cr < Pb < Zn.

从悬浮颗粒物中重金属沿程变化可以看出(图5),重金属 As、Cd、Cr、Cu、Zn 含量总体上均为河口区高于感潮段,与上覆水相似. 而 Pb 正相反,为河口区低于感潮段.

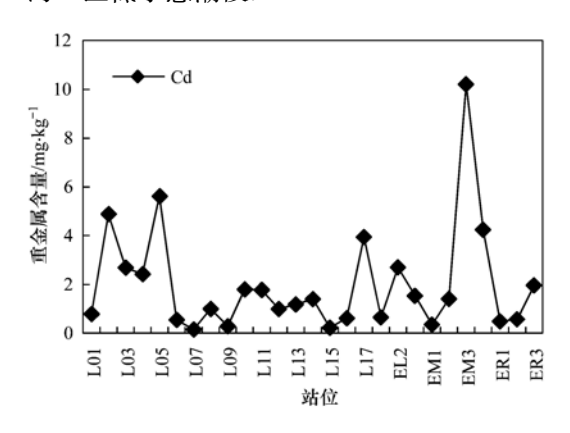


图 5 悬浮颗粒物中重金属含量分布

Fig. 5 Spatial distribution of heavy metal contents in suspended solids

从感潮段到河口区沿程分布看,前者总体表现规律不完全一致,Pb则表现出"高-低-高"型特征.

具体分析, As、Cd、Cr、Cu 的沿程变化特征比较相似,呈现波峰与波谷交替出现的特征. 且 Cd、Cu、Cr 均在河口区的 EM3 站出现最高峰. As 的最高值出现在感潮段的 L05 站. Zn 的沿程变化波动较大,在全程出现多个高峰值,其最高峰出现在河口区的 EL2 站. 这与上覆水中 Zn 的最高值出现的站位一致. Pb 沿程呈现波峰与波谷交替的特征,其最高值出现在感潮段的 L01 站.

#### 2.3.3 表层沉积物中重金属含量分布

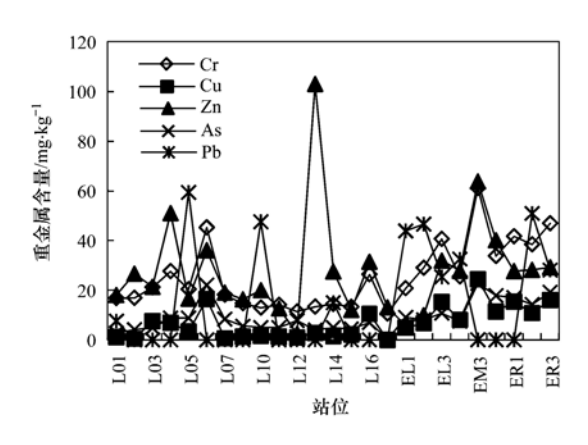
调查结果分析表明,研究区域表层沉积物中 Cr 的含量范围为  $10.59 \sim 61.17 \text{ mg} \cdot \text{kg}^{-1}$ , 平均值为  $25.42 \text{ mg} \cdot \text{kg}^{-1}$ . Cu 的含量范围为  $0 \sim 24.38 \text{ mg} \cdot \text{kg}^{-1}$ , 平均值为  $6.84 \text{ mg} \cdot \text{kg}^{-1}$ . Zn 的含量范围为  $2.43 \sim 102.99 \text{ mg} \cdot \text{kg}^{-1}$ , 平均值为  $27.65 \text{ mg} \cdot \text{kg}^{-1}$ . As 的含量范围为  $0.29 \sim 22.78 \text{ mg} \cdot \text{kg}^{-1}$ ,

平均值为 9. 23  $\text{mg} \cdot \text{kg}^{-1}$ . Cd 的含量范围为 0. 12 ~ 1. 05  $\text{mg} \cdot \text{kg}^{-1}$ , 平均值为 0. 45  $\text{mg} \cdot \text{kg}^{-1}$ . Pb 的含量范围为 0 ~ 59. 37  $\text{mg} \cdot \text{kg}^{-1}$ , 平均值为 14. 28  $\text{mg} \cdot \text{kg}^{-1}$ . 表层沉积物中重金属含量的高低顺序为 Cd < Cu < Pb < As < Cr < Zn.

从研究区域表层沉积物中重金属沿程变化可以看出(图 6),所有重金属 As、Cd、Cr、Cu、Pb、Zn含量均为河口区高于感潮段.

从感潮段到河口区沿程分布看,表层沉积物中 重金属含量分布总体表现规律不完全统一.

具体分析,重金属 As、Cr、Cu、Zn的沿程分布特征比较相似,呈现波峰与波谷交替出现的特征. As、Cr、Cu 的最高值均出现在河口区的 EM3 站. Zn则出现在感潮段的 L13 站. Pb 的沿程变化特征和其他重金属表现不同,差异较大,其在全程出现了几个较大的波峰,在感潮段的 L05 站出现最高峰值. Cd 在感潮段出现了 3 个较大的波峰值,但从河口区



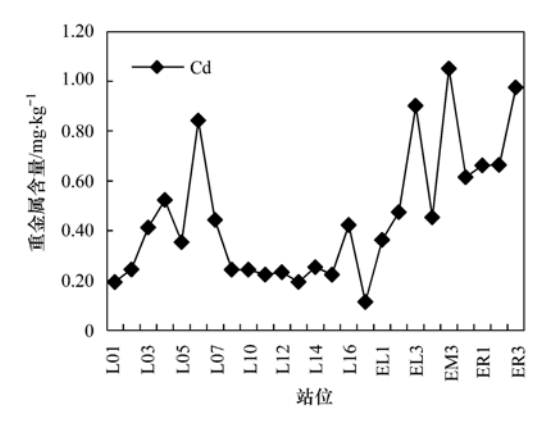


图 6 表层沉积物中重金属含量分布

Fig. 6 Spatial distribution of heavy metals contents in surface sediments

开始整体波峰值不断增大,亦在河口区的 EM3 站出现最高值.

综上,研究区域表层沉积物中As、Cu、Cr和Cd的最高值均出现在河口区的EM3站,这与悬浮颗粒物中Cu、Cr和Cd最高值出现的站位一致.

#### 2.3.4 影响研究区域重金属分布的因素

综合比较大辽河口感潮段及河口区各相重金属 分布特征,可知除上覆水中的 Cu 和悬浮颗粒物中 的 Pb 外,各相重金属含量均为河口区高于感潮段. 这与盐度的分布较相似,细颗粒泥沙往往在吸附金 属离子后或吸附过程中受盐度变化的影响较大. 由 于河口区是盐淡水交汇混合剧烈之处,细颗粒泥沙 作为重金属的主要载体,通过吸附和解吸,能调节水 体中重金属的固液相分配比[16]. 当进入近海河口 区,水面逐渐变宽,虽然细颗粒泥沙较易发生絮凝, 但在高能量的波浪作用下又会发生再悬浮. 在波浪 的长期筛选作用下,只有相对较粗的颗粒沉积在河 床表层,因此悬沙中的细颗粒泥沙所占比重进一步 增加,悬沙中金属含量出现高值[16]. 而表层沉积物 由于有大量的金属含量较高的泥沙在此絮凝沉积, 使得此处金属含量也相应地出现高值. 而上覆水中 的 Cu 和悬浮颗粒物中的 Pb 含量为感潮段高于河 口区,这可能是由于这两相中的重金属 Cu 和 Pb 相 比其他元素除受到盐度影响外,还主要受到海水稀 释的影响较大,重金属元素到达近海河口区,水域扩 展,受到海水稀释,浓度降低.

综观研究区域各相重金属的分布,可知上覆水中的 Cu、悬浮颗粒物中的 Pb 和 As,以及表层积物中的 Zn 和 Pb,其最高值均出现在感潮段.研究区域感潮段两侧村庄、渡口、码头等较多,人为活动多且口门内水道较窄<sup>[5]</sup>,水体交换有限,易于上覆

水中重金属的积聚. 且感潮段的悬浮颗粒物要比河口区的含量高,水体中的重金属易于吸附到悬浮颗粒物的表面,并随其进行迁移<sup>[17]</sup>,悬浮物的增减直接影响到水体中重金属的增减<sup>[5]</sup>,因而悬浮颗粒物中的 Pb 和 As 的含量较高. 同时感潮段水体交换有限,采样期间水量较少,流动缓慢,易于造成悬浮颗粒物中某些重金属转入沉积物中,可能使得沉积物中的 Zn 和 Pb 易于积聚出现高值.

研究区域各相中其余多数重金属的最高值均出现在河口区,这可能主要是由于受到盐度的影响。 咸淡水混合剧烈且邻近海域处,水化学性质变化剧烈,盐度和常量离子浓度等都有剧烈的变化.由河向海,上覆水中重金属易通过络合反应或离子交换从悬浮颗粒物释放<sup>[5]</sup>.同时在这样的条件下,径流与潮流往复运动,大量悬浮颗粒物絮凝、聚集、沉降以及再悬浮,形成了含沙量极高的河口最大浑浊带,从而导致悬浮颗粒物中重金属元素的富集<sup>[18]</sup>.受盐度影响较大区域的表层沉积物,采样期间水流量较小,吸附在悬浮颗粒物上的重金属可能一部分会随悬浮颗粒物沉降转入固相,受其影响,因而重金属含量较高.

- **2.4** 重金属元素与环境条件变化作用之间的相关性分析
- **2.4.1** 重金属元素与温度、pH、DO、EC 及各相重 金属相互之间的关系

研究区域水温、pH、DO、EC 等很多因素均可能影响到重金属在水、悬浮物、沉积物间的分布.对研究区域各相重金属元素与水体环境条件及各相重金属之间的相关性分析见表 2.

从表 2 看出,上覆水中重金属与水温、pH、DO、EC 之间的相关性各不相同. 其中,重金属与温

度、EC 之间均呈现高度显著性正相关性,说明温度和 EC 可能是影响上覆水中重金属分布的重要因子. 上覆水中仅有 Zn 与 DO 之间呈现显著的正相关性,说明 DO 对上覆水中 Zn 的分布起着重要作用. 重金属与 pH 之间均没有显著的相关性,说明 pH 对上覆水中重金属的影响较小,上覆水重金属之间的相关性主要表现为 As、Cd、Cr、Zn 两两之间均存在显著的正相关性,Cu 只与 Cr 之间存在显著的正相关性. 这可能与其地球化学性质有关,且它们之间可能均具有一定的同源性.

悬浮颗粒物中重金属与pH、DO、EC 之间均不存在显著的相关性,说明pH、DO、EC 对悬浮颗粒物中重金属的分布影响较小. Cr、Cu 与水温呈现显著的正相关性. 重金属之间的相关性表现为 Zn 与其它重金属之间均不存在相关性关系,As、Cd、Cr、Cu、Pb 两两之间存在显著的正相关性,从地球化学的角度看,这些金属之间具有相似的地球化学行为,这也说明了它们可能具有一定的同源性.

表层沉积物中重金属与 pH、DO 之间均不存在显著的相关性,说明 pH、DO 对表层沉积物重金属的分布影响较小. As、Cd、Cr、Cu 均与温度和 EC 之间呈显著的正相关性,说明温度和 EC 可能是影响 As、Cd、Cr、Cu 分布的重要因子. 表层沉积物重金属之间的相关性表现在 As、Cd、Cr、Cu 两两之

间均存在显著的正相关性,这与上覆水、悬浮颗粒物中重金属之间的相关性比较相似,尤其是 As、Cd、Cr 在 3 种介质中的相关性表现一致,这进一步说明这些重金属可能具有一定的同源性规律.

#### 2.4.2 重金属元素与盐度、悬浮颗粒物之间的关系

盐度可以影响重金属的吸附-解吸反应,可能会导致水中重金属浓度的变化<sup>[1]</sup>. 研究重金属浓度与盐度的相关性,可用来评价河流输入对重金属分布和变化的影响,并由此判断元素在河口行为的保守程度<sup>[19,20]</sup>. 从表 2 可知,盐度与上覆水中 As、Cd、Cr、Cu、Zn之间均存在显著的正相关性,与悬浮颗粒物中重金属之间均不存在相关性,与表层沉积物中 As、Cd、Cr、Cu之间均存在显著的正相关性. 这说明 As、Cd、Cr、Cu之间均存在显著的正相关性. 这说明 As、Cd、Cr、Cu之间均存在显著的正相关性. 这说明 As、Cd、Cr、Cu、Zn 在此河段受海水影响较大. 研究区域自感潮段到河口区盐度增加,同时多数重金属分布亦与盐度分布相似. 盐度与各种介质中的 Pb 之间无显著的相关性,说明 Pb 的分布除受盐度影响外,还受到其他因素的共同影响,如氯离子的浓度、污染物的回荡时间等<sup>[2]</sup>.

水中重金属主要赋存在悬浮颗粒物表面,并随 其迁移,悬浮颗粒物的增减,直接导致颗粒态重金属 的增减,进而影响全水样重金属浓度的增减.可以 说,悬浮物含量的变化是导致水中重金属浓度变化 的重要和主要原因之一[1].从表2可知,悬浮颗粒

表 2 各相重金属与水体环境因子及各相重金属之间的相关分析 $^{1)}$ 

		Table 2	Correlati	ion matrix o	f water body	environmenta	l factors and	heavy meta	d contents			
	盐度	温度	pН	DO	EC	SS	Cd	Pb	Zn	Cu	$\operatorname{Cr}$	As
表层水												
Cd	0. 882 **	-0.410*	0. 183	0.071	0. 920 **	-0.303	1	_				
Zn	0. 683 **	-0.727 **	-0.041	0. 672 **	0. 682 **	-0.140	0. 429 *	_	1			
Cu	-0.393 *	0.481*	0.020	-0.375	-0.397*	0.360	-0.356	_	-0.358	1		
Cr	0. 943 **	- 0. 654 **	0.086	0.375	0. 994 **	-0.242	0. 897 **	_	0. 707 **	-0.396*	1	
As	0. 944 **	-0.621 **	0. 105	0.352	0. 994 **	-0.239	0. 902 **	_	0. 680 **	-0.336	0. 995 **	1
悬浮颗粒物												
Cd	0. 296	-0.376	0.325	-0.022	0.346	-0.395 *	1					
Pb	0.060	-0.236	0. 243	-0.078	0.077	- 0. 383 *	0. 512 **	1				
Zn	0. 111	-0.198	0.006	0. 142	0. 151	-0.241	0. 293	0. 127	1			
Cu	0.308	$-$ 0. 428 $^{st}$	0.360	0.003	0.371	- 0. 449 *	0. 884 **	0. 429 *	0.339	1		
Cr	0. 299	$-$ 0. 426 $^{\ast}$	0. 354	-0.047	0. 342	-0.468 *	0. 912 **	0. 463 *	0.313	0. 942 **	1	
As	0. 195	-0.097	0. 175	-0.056	0. 181	-0.380	0. 747 **	0.406*	0.038	0. 642 **	0. 559 **	1
表层沉积物												
Cd	0. 606 **	- 0. 520 **	-0.153	0. 230	0. 690 **	-0.107	1					
Pb	0. 260	0.022	0.009	0. 122	0. 293	-0.149	0.100	1				
Zn	0.093	-0.236	0.033	-0.111	0. 132	-0.250	0. 293	-0.263	1			
Cu	0. 604 **	-0.537 **	-0.119	0. 252	0. 672 **	- 0. 109	0. 944 **	0.010	0.375	1		
Cr	0. 612 **	- 0. 569 **	-0.068	0. 285	0. 700 **	-0.131	0. 971 **	0.075	0.331	0. 974 **	1	
As	0. 515 **	-0.520 **	0.016	0. 333	0. 596 **	- 0. 057	0. 901 **	0.042	0. 269	0. 880 **	0. 913 **	1

1) \* 表示 P < 0.05, \* \* 表示 P < 0.01

物与上覆水和表层沉积物中重金属均不存在相关性,这可能是由于两相中颗粒物的粒径范围过大,不及细颗粒物对其两相中重金属的影响更加显著. 悬浮颗粒物浓度与悬浮颗粒物中 Cd、Cr、Cu、Pb 之间均存在显著的正相关性,这说明研究区域悬浮颗粒物的多少直接影响悬浮颗粒物中重金属含量.

#### 2.5 表层水综合污染指数评价法

重金属元素综合污染指数评价法是将同一站位的所有要研究的重金属元素作为一个统一的整体,研究这些重金属元素在相互作用的情况下对环境产生的影响.本研究利用综合污染指数评价法<sup>[21-23]</sup>,对研究区域水体重金属污染状况进行评价,其计算公式为:

$$A_i = C_i / C_{si} \tag{1}$$

$$WQI = \frac{1}{n} \sum_{i=1}^{n} A_i$$
 (2)

式中, $A_i$  表示重金属元素 i 的污染指数; $C_i$  表示重金属元素 i 的实测含量; $C_{si}$ 表示重金属元素 i 的评价标准(分别取地表水环境质量标准 I 类标准和海水水质 I 类标准作为研究区域各重金属元素评价标

准); n 为元素个数; WQI 为水质综合污染指数.

当 WQI  $\leq$  1 时,表明该水域无重金属污染; 当 1 < WQI  $\leq$  2 时,表明该水域重金属为轻度污染;当 2 < WQI  $\leq$  3 时,表明该水域重金属为中度污染;当 WQI > 3 时,表明该水域重金属为重度污染.

通过计算得到上覆水中重金属综合污染指数(见表 3). 可以看出,研究区域感潮段所有站位的WQI值介于 0.02~0.17之间,且均小于 1,表明感潮段水域没有重金属污染;河口区所有站位的WQI值介于 0.34~1.23之间,其中 EL1、EL3、EM1、EM2、ER1、ER2、ER3站位的WQI值均小于 1,表明上述几个站位无重金属污染. EL2、EM3、EM4站位的WQI值均介于 1~2之间,表明此 3个站位为重金属轻度污染.

综合水体重金属元素综合污染指数评价法对研究区域上覆水重金属浓度进行评价,所得结果为:研究区域大部分水体水质良好,个别站位如 EL2、EM3、EM4 站可能受到重金属的轻度污染,需要加以注意.

表 3 上覆水重金属的综合污染指数

Гabl	e 3	Compre	hensive	pollution	index	of	heavy	metals	s in	surface	water
------	-----	--------	---------	-----------	-------	----	-------	--------	------	---------	-------

站点	WQI	站点	WQI	站点	WQI
L01	0. 12	L10	0. 04	EL2	1. 23
L02	0. 07	L11	0. 03	EL3	0.41
L03	0.05	L12	0. 04	EM1	0. 58
L04	0. 04	L13	0.04	EM2	0. 34
L05	0. 04	L14	0. 04	EM3	1.06
L06	0. 02	L15	0. 04	EM4	1.02
L07	0. 02	L16	0. 07	ER1	0. 84
L08	0. 03	L17	0. 17	ER2	0.41
L09	0. 03	EL1	0. 35	ER3	0. 93

#### 2.6 表层沉积物重金属地累积指数评价

德国科学家 Müller<sup>[24]</sup>于 1979 年提出的地累积指数法是目前沉积物重金属污染评价中使用最为广泛的方法. 计算公式如下:

$$I_{\text{geo}} = \log_2 C_i / (kB_i)$$

式中, $C_j$ 为实测重金属含量, $mg \cdot kg^{-1}$ ; $B_j$ 为普通页岩中重金属地球化学平均背景值,考虑辽河水系表层沉

积物重金属背景值<sup>[25]</sup>,取 Cu:39, Zn:172, Cd:1.1, Cr:65, Pb:51, As:9 mg·kg<sup>-1</sup>; k 为考虑到造岩运动可能引起背景值波动而设定的常数,取 k = 1.5.

 $I_{\text{geo}}$ 值为地累积指数,根据  $I_{\text{geo}}$ 值 0~5 将污染等级分为7级.依据  $I_{\text{geo}}$ 将沉积物中重金属污染状况划分为7个等级,对应污染程度为无污染至极强污染[26].结果见表 4.

表 4 重金属污染程度与  $I_{geo}$  的关系

Table 4 Classification of  $I_{\text{geo}}$  and heavy metal contamination levels

项目				污染指标			
$I_{ m geo}$	<i>I</i> ≤0	0 < <i>I</i> ≤ 1	1 < <i>I</i> ≤2	2 < <i>I</i> ≤ 3	3 < <i>I</i> ≤ 4	4 < <i>I</i> ≤ 5	I > 5
污染级别	清洁	轻度污染	偏中度污染	中度污染	偏重污染	重污染	严重污染

从表 5 可以明显看出,研究区域表层沉积物中只有感潮段的 L06 站和河口区的 EM3、EM4、ER1、ER2、ER3 站存在轻度的 As 污染,污染级别达到 1级. 其余重金属污染程度均为清洁. As 为表层沉积物中主要的污染物. 从表 5 还可以明显看出,河口

区的重金属 As 污染程度要大于感潮段,这可能与盐度的影响有关,盐度可以影响重金属的吸附-解吸反应,从而可能会导致水中重金属浓度的变化. 总体来看,研究区域表层沉积物中除个别站位受到 As 轻度污染外,其余重金属的污染程度均为清洁.

表 5 表层沉积物重金属污染元素的地累积指数及污染程度

Table 5	The $I$	of heavy n	antal cont	tamination	levels in	curfoco	cadimente
Table 3	ine i	or neavy n	netat cont	amination	ieveis in	surrace	seaimenis

			rable.	J The I	geo of ficavy fi	ictai conte	illillation ieve	as in suit	ace sediments			
站点	$I_{\mathrm{geo}}(\mathrm{Cu})$	级别	$I_{\mathrm{geo}}(\mathrm{Zn})$	级别	$I_{\mathrm{geo}}\left(\mathrm{Cd} ight)$	级别	$I_{\mathrm{geo}}(\mathrm{Cr})$	级别	$I_{\mathrm{geo}}(\mathrm{Pb})$	级别	$I_{\mathrm{geo}}\left(\mathrm{As} ight)$	级别
L01	-5.66	0	-3.84	0	- 3. 09	0	-2.54	0	-3.33	0	-2.30	0
L02	-6.93	0	-3.28	0	- 2. 75	0	-2.53	0	_	0	-1.70	0
L03	-2.96	0	-3.60	0	- 2. 00	0	-2.20	0	_	0	-1.47	0
L04	-3.09	0	-2.34	0	- 1. 66	0	-1.82	0	_	0	-0.61	0
L05	-4. 15	0	-3.96	0	- 2. 22	0	-2.26	0	-0.37	0	-0.62	0
L06	-1.83	0	-2.84	0	- 0. 97	0	-1.11	0	_	0	0.71	1
L07	-6.56	0	-3.76	0	- 1. 89	0	-2.43	0	_	0	-0.69	0
L08	-5.52	0	-3.98	0	- 2. 75	0	-2.73	0	_	0	-1.27	0
L10	-5.20	0	-3.69	0	- 2. 75	0	-2.91	0	-0.68	0	-1.42	0
L11	- 5. 59	0	-4.35	0	- 2. 88	0	-2.79	0	_	0	-1.43	0
L12	-5.86	0	-6.73	0	- 2. 82	0	-3.09	0	_	0	-0.79	0
L13	-4.40	0	-1.32	0	- 3. 08	0	-2.87	0	_	0	-1.76	0
L14	-5.25	0	-3.23	0	- 2. 70	0	-2.76	0	-2.35	0	-1.45	0
L15	-4.75	0	-4.42	0	<b>−2.88</b>	0	-2.88	0	_	0	-1.60	0
L16	-2.49	0	-3.04	0	-1.96	0	-1.89	0	_	0	-0.95	0
L17	_	0	-4.30	0	- 3. 84	0	-3.20	0	_	0	-5.57	0
EL1	-3.57	0	-5.51	0	<b>-2.18</b>	0	-2.23	0	-0.80	0	-0.58	0
EL2	-3.14	0	-4.70	0	-1.80	0	-1.75	0	-0.71	0	-0.73	0
EL3	-1.95	0	-3.02	0	<b>−</b> 0. 87	0	-1.26	0	-1.59	0	-0.33	0
EM2	-2.86	0	-3.22	0	-1.86	0	-1.94	0	-1.23	0	-0.85	0
EM3	-1.26	0	-2.02	0	-0.65	0	-0.67	0	_	0	0.76	1
EM4	-2.36	0	-2.69	0	-1.42	0	-1.53	0	_	0	0.40	1
ER1	-1.93	0	-3.22	0	-1.32	0	-1.23	0	_	0	0.33	1
ER2	-2.44	0	-3.19	0	-1.31	0	-1.34	0	-0.59	0	0.08	1
ER3	-1.87	0	-3.14	0	- 0. 76	0	-1.05	0	-1.44	0	0.51	1

#### 3 结论

- (1)研究区域上覆水中 Cu、Zn、Cd、Cr、Pb、As 含量平均值分别为: 0. 08、25. 43、0. 23、0. 81、0、8. 59 µg·L<sup>-1</sup>,重金属含量除 Cu 外总体上均为河口区高于感潮段. 悬浮颗粒物中 Cu、Zn、Cd、Cr、Pb、As 含量平均值分别为 65. 37、350. 40、2. 02、117. 92、123. 68、90. 95 mg·kg<sup>-1</sup>, Cu、Cd、Cr、Pb、As 的沿程变化特征比较相似,全程呈现波峰与波谷交替出现的特征. 表层沉积物中 Cu、Zn、Cd、Cr、Pb、As 含量平均值分别为 6. 84、27. 65、0. 45、25. 42、14. 28、22. 78 mg·kg<sup>-1</sup>, Cu 和 As、Cr 和 Zn的沿程分布均分别呈现出比较相似的特征.
- (2)与其他典型河口区相比,研究区域水体中重金属含量整体处于较高水平,水体中个别站位EL2、EM3、EM4站可能受到重金属的轻度污染.

- (3)研究区域表层沉积物中只有感潮段的 L06 站和河口区的 EM3、EM4、ER1、ER2、ER3 站存在 轻度的 As 污染,污染级别达到 1 级. 其余重金属污 染程度均为清洁. As 为研究区域表层沉积物中主 要的污染物.
- (4)盐度和悬浮颗粒物作为研究区域水体中的重要环境因素,对重金属的分布影响较大. 其中,盐度与上覆水中 As、Cd、Cr、Cu、Zn 之间均存在显著的正相关性,盐度与表层沉积物中 As、Cd、Cr、Cu之间均存在显著的正相关性. 这说明 As、Cd、Cr、Cu、Zn 在此河段受海水影响较大. 悬浮颗粒物浓度与 Cd、Cr、Cu、Pb 之间均存在显著的正相关性,说明悬浮颗粒物的多少直接影响悬浮颗粒物中重金属含量.

#### 参考文献:

[1] 刘汝海, 吴晓燕, 秦洁, 等. 黄河口河海混合过程水中重金属的变化特征[J]. 中国海洋大学学报, 2008, 38(1): 157-

162

- [2] 刘娟, 孙茜, 莫春波, 等. 大辽河口及邻近海域的污染现状和特征[J]. 水产科学, 2008, **27**(6): 286-289.
- [3] 孟伟, 刘征涛, 范薇. 渤海主要河口污染特征研究[J]. 环境科学研究, 2004, **17**(6): 66-69.
- [4] Ghrefat H, Yusuf N. Assessing Mn, Fe, Cu, Zn, and Cd pollution in bottom sediments of Wadi A-l Arab Dam, Jordan [J]. Chemosphere, 2006, 65(11): 2114-2121.
- [5] 王小静, 张帅, 简慧敏, 等. 大辽河口溶解态重金属的变化特征及影响因素研究[J]. 中国海洋大学学报, 2011, 41 (10); 79-86.
- [6] 金鑫, 张春洁. 浅析重金属在潮汐河段的变化规律[J]. 地下水, 2008, **30**(1): 70-72.
- [7] GB 3838-2002. 中华人民共和国地表水环境质量标准[S].
- [8] 蔡文贵, 林钦, 贾晓平, 等. 考洲洋重金属污染水平与潜在 生态危害综合评价[J]. 生态学杂志, 2005, **24**(3): 343-347.
- [9] 林洪瑛, 韩舞鹰. 珠江口伶仃洋枯水期十年前后的水质状况与评价[J]. 海洋环境科学, 2001, **20**(2): 28-31.
- [10] 陈奎,周勇华,张怀静. 东昌湖水体和表层沉积物重金属元素污染评价[J]. 中国海洋大学学报,2012,42(10):97-105.
- [11] 洪小筠. 闽江河口区水体氯离子浓度与电导率相关性研究 [J]. 水利科技, 2010, (4): 31-32.
- [12] 江文胜, 苏健, 杨华, 等. 渤海悬浮颗粒物浓度分布和水动力特征的关系[J]. 海洋学报, 2002, **24**(增刊1): 212-217.
- [13] 陈泽夏. 长江口溶解铜、镍和镉的行为[J]. 海洋学报, 1986, **8**(1): 48-52.
- [14] 孙维萍,潘建明,吕海燕,等. 2006年夏冬季长江口、杭州湾及邻近海域表层海水溶解态重金属的平面分布特征[J].

- 海洋学研究, 2009, 27(1): 37-43.
- [15] 张亚男, 贺青, 陈金民, 等. 珠江口及其邻近海域重金属的河口过程和沉积物污染风险评价[J]. 海洋学报, 2013, 35 (2): 178-186.
- [16] 刘启贞. 长江口细颗粒泥沙絮凝主要影响因子及其环境效应研究[D]. 上海: 华东师范大学, 2007.
- [17] 沈焕庭,潘定安. 长江河口最大浑浊带[M]. 北京:海洋出版社,2001.
- [18] 李军, 陈吉余. 长江口拦门沙河段悬浮颗粒物表面的生化特性研究[J]. 环境科学学报, 2002, 22(4): 439-442.
- [19] 王永辰, 孙秉一. 河口区元素的平衡(Ⅲ)——黄河口镉的行为研究[J]. 海洋与湖沼, 1992, **23**(6): 606-611.
- [20] Elibaz-Poulichet F, Huang W W, Martin J M S, et al. Biogeochemical behavior of dissolved trace elements in the Changjiang Estuary [A]. In: Yu G H, Martin J M, Zhou J Y. Biogechemical study of the Changjiang Estuary [M]. Beijing: Ocean Press, 1990. 293-311.
- [21] 廖为权. 水质评价的浓度级数法[J]. 水文, 1992, (3): 45-49
- [22] 沈春燕, 冯波, 卢伙胜. 茂名放鸡岛海域水体重金属的分布与污染评价[J]. 海洋通报, 2008, 27(5): 116-120.
- [23] 徐蕾. 综合指数评价法在地表水饮用水源地水质评价中的应用[J]. 农业与技术,2013,33(4): 36-37.
- [24] Müller G. Index of geoaccumulation in sediments of the Rhine River[J]. Geojournal, 1979, 2: 108-118.
- [25] 马力,杨晓波,佟成冶,等. 辽宁省浑河流域底质中重金属元素地球化学特征[J]. 岩矿测试,2008,27(3):184-188.
- [26] 董路明,路永正,李鱼,等. 吉林省部分河流与湖泊表层沉积物中重金属的分布规律[J]. 吉林大学学报(地球科学版),2005,35(1);91-96.

Environmental Science (monthly)

Vol. 35 No. 9 Sep. 15, 2014

## **CONTENTS**

Comparative Analysis Methods of Haze Distinction over Yangtze River Delta Region	LIII Xiao-hui ZHII Rin GAO lin-hui et al. (3239)
Trends of Urban Haze in Jiangsu Province China over the Past 33 Years	
Temporal Variation of Background Atmospheric CO <sub>2</sub> and CH <sub>4</sub> at Mount Waliguan, China	
Characteristics and Sources of Organic Carbon and Elemental Carbon in PM <sub>2,5</sub> in Shanghai Urban Area ZHAI	
Size Distribution and Characterization of OC and EC in Atmospheric Aerosols During the Asian Youth Games of Nanjing, China	
Pollution Characteristics of Carbonaceous Aerosols in PM <sub>2, 5</sub> During Typical Winter Days in Wuxi City	
Emission Characteristics of PM <sub>2, 5</sub> from Blast Furnace Iron Making	
Composition Characteristics of Atmospheric Volatile Organic Compounds in the Urban Area of Beibei District, Chongqing	
Catalytic Oxidation of Two-component VOCs and Kinetic Analysis	
Ultrafine Particle Number Concentration and Size Distribution of Vehicle Exhaust Ultrafine Particles	LU Ye-qiang, CHEN Qiu-fang, SUN Zai, et al. (3309)
Major Ion Chemistry of Surface Water in the Upper Reach of Shule River Basin and the Possible Controls	HOU Jia-xin, DING Yong-jian, ZENG Guo-xiong, et al. (3315)
Sediment-water Flux and Processes of Nutrients and Gaseous Nitrogen Release in a China River Reservoir	CHEN Zhu-hong, CHEN Neng-wang, WU Yin-qi, et al. (3325)
Spatial Distribution and Pollution Assessment of Heavy Metals in the Tidal Reach and Its Adjacent Sea Estuary of Daliaohe Area, China	··· ZHANG Lei, QIN Yan-wen, MA Ying-qun, et al. (3336)
Chemical Speciation and Risk Assessment of Heavy Metals in the Middle Part of Yarlung Zangbo Surface Sediments	
Analysis of Particle Size Characteristics of Road Sediments in Beijing Olympic Park	
Levels and Distribution of the Dioxin-Like Polychlorinated Biphenyls (PCBs) in the Surface Sediment of the Yellow River	
Characteristics of Nitrogen and Phosphorus Retention in Two Different Channel Forms in a Typical Headwater Stream in the Suburb of H	Hefei City, China ·····
Migration and Transformation of Nitrogen in Urban Stream Located in Plain River-net Area Based on Water Resources Regulation	
Decomposition and Phosphorus Dynamics of the Litters in Standing and Litterbag of the Hangzhou Bay Coastal Wetland	
Muti-model Collaborative Retrieval of Chlorophyll a in Taihu Lake Based on Data Assimilation	
Photobleaching of Dissolved Organic Matter (DOM) from Confluence of Two Rivers Under Natural Solar Radiation: A Case Study of Fu	ujiang River-Jialingjiang River
Using Ultraviolet-Visible (UV-Vis) Absorption Spectrum to Estimate the Dissolved Organic Matter (DOM) Concentration in Water, Sc	oils and Sediments of Typical Water-Level Fluctuation
Zones of the Three Gorges Reservoir Areas	_
Synthesis of Cu <sub>2</sub> O-Ag-AgBr/MA Visible Photocatalyst and Its Performance in Degradation of 2-Chlorophenol	
Effects of Particle Size of Zero-Valent Iron on the Reactivity of Activating Persulfate and Kinetics for the Degradation of Acid Orange 7	IIII WANT MAY . 1 (2422)
Degradation of 2,4-D by Combined Catalytic Dechlorination and Biological Oxidation	
Treatment of Marine-Aquaculture Effluent by the Multi-Soil-Layer (MSL) System and Subsurface Flow Constructed Wetland	
Variation of Different Carbon Sources in the Sewage Treatment Process	
Effect of Gas-lift Device on Nitrogen Removal Efficiency of ANAMMOX Reactor	
Enhancement for Anaerobic Digestion of Sewage Sludge Pretreated by Microwave and Its Combined Processes	
Pilot Study of Thermal Treatment/Thermophilic Anaerobic Digestion Process Treating Waste Activated Sludge of High Solid Content	
Effects of Temperature on Combined Process of ABR and MBR for Domestic Sewage Treatment and Analysis of Microbial Community	
Microbial Community of Municipal Discharges in A Sewage Treatment Plant	
Pilot-Scale Cultivation of Spirulina plantensis with Digested Piggery Wastewater	
Spectral Characteristics of Soluble Metabolites During Endogenous Respiration	
Endogenous Respiration Process Analysis of Heterotrophic Biomass and Autotrophic Biomass Based on Respiration Map	
Influence of S-Metolachlor and Cd <sup>2+</sup> on Photosynthesis of Scenedesmus obliquus	
Effect of Environmental Factors on Fish Community Structure in the Huntai River Basin at Multiple Scales	
Succession of Rotifer Community and Its Relationship with Environmental Factors in a New Estuarial Landscape River, Shanghai	
Anaerobic Reduction of Humus/Fe( III ) and Electron Transport Mechanism of Fontibacter sp. SgZ-2 ······	MA Chen, YANG Gui-qin, LU Qin, et al. (3522)
Source Apportionment of Soil Heavy Metals in Jiapigou Goldmine Based on the UNMIX Model	
Environmental Magnetic Properties and Their Spatial Variability of Topsoil in Shihezi City	
Effects of Different Amounts of Phosphate Fertilizers on Copper, Zinc Transfer in Red Soil Under the Application of KH <sub>2</sub> PO <sub>4</sub>	
Influence of Sulfur on the Bioavailability of Arsenic Uptake by Rice (Oryza. sativa L.) and Its Speciation in Soil	ANG Shi-jie, TANG Bing-pei, WANG Dai-chang, et al. (3553)
Effects of Sulfur on Transformation of Selenium in Soil and Uptake of Selenium in Rape	····· LIU Xin-wei, DUAN Bi-hui, XIA Quan-jie, et al. (3564)
Impact of Reclaimed Water Irrigation on Soil Chemical Properties and Culturable Microorganisms	····· GONG Xue, WANG Ji-hua, GUAN Jian-fei, et al. (3572)
Influence of Different Slope Position and Profile in Disporopsis pernyi Forest Land on Soil Microbial Biomass and Enzyme Activity in Sou	uthwest Karst Mountain of China
	·· QIN Hua-Jun, HE Bing-Hui, ZHAO Xuan-chi, et al. (3580)
$Effects \ of \ Different \ Soil \ Types \ on \ the \ Foliar \ \delta^{13}\!C \ Values \ of \ Common \ Local \ Plant \ Species \ in \ Karst \ Rocky \ Describination \ Area \ in \ Central \ Plant \ Species \ in \ Karst \ Rocky \ Describination \ Area \ in \ Central \ Plant \ Species \ in \ Karst \ Rocky \ Describination \ Area \ in \ Central \ Plant \ Species \ in \ Karst \ Rocky \ Describination \ Area \ in \ Central \ Plant \ Species \ in \ Karst \ Rocky \ Describination \ Area \ in \ Central \ Plant \ Species \ in \ Karst \ Rocky \ Describination \ Area \ in \ Central \ Plant \ Species \ in \ Karst \ Rocky \ Describination \ Area \ in \ Central \ Plant \ Species \ in \ Karst \ Rocky \ Describination \ Area \ in \ Central \ Plant \ Species \ in \ Karst \ Rocky \ Describination \ Area \ in \ Central \ Plant \ Species \ in \ Karst \ Rocky \ Describination \ Area \ in \ Central \ Plant \ Species \ in \ Karst \ Rocky \ Describination \ Area \ Area \ Plant \ Pl$	
	DU Xue-lian, WANG Shi-jie, LUO Xu-qiang ( 3587 )
Effect of Carbon Substrate Concentration on N2, N2O, NO, CO2 and CH4 Emissions from a Paddy Soil in Anaerobic Condition	
Ability of Typical Greenery Shrubs of Beijing to Adsorb and Arrest PM <sub>2.5</sub>	
Effects of Chlorides on Cd Transformation in a Simulated Grate Incinerator During Sludge Incineration Process	• • • • • • • • • • • • • • • • • • • •
$Spatial\ Temporal\ Differentiation\ of\ Product-based\ and\ Consumption-based\ CO_{2}\ Emissions\ and\ Balance\ in\ the\ Beijing-Tianjin-Hebei\ Regular Consumption and Cons$	ion; an Economic Input-Output Analysis ······
Study on Feasible Emission Control Level of Air Pollutions for Cement Industry	REN Chun, JIANG Mei, ZOU Lan, et al. (3632)

## 《环境科学》第6届编辑委员会

主 编:欧阳自远

副主编:赵景柱 郝吉明 田 刚

编 委: (按姓氏笔画排序)

万国江 王华聪 王凯军 王绪绪 田 刚 田 静 史培军

朱永官 刘志培 汤鸿霄 陈吉宁 孟 伟 周宗灿 林金明

欧阳自远 赵景柱 姜 林 郝郑平 郝吉明 聂永丰 黄 霞

黄耀 鲍强潘纲潘涛魏复盛

## 环龙种草

(HUANJING KEXUE)

(月刊 1976年8月创刊) 2014年9月15日 第35卷 第9期

#### ENVIRONMENTAL SCIENCE

(Monthly Started in 1976)
Vol. 35 No. 9 Sep. 15, 2014

		, <del>.</del> ,			
主	管	中国科学院	Superintended	by	Chinese Academy of Sciences
主	办	中国科学院生态环境研究中心	Sponsored	by	Research Center for Eco-Environmental Sciences, Chinese
协	办	(以参加先后为序)			Academy of Sciences
		北京市环境保护科学研究院	Co-Sponsored	by	Beijing Municipal Research Institute of Environmental
		清华大学环境学院			Protection
主	编	欧阳自远			School of Environment, Tsinghua University
编	辑	《环境科学》编辑委员会	Editor-in -Chief		OUYANG Zi-yuan
≥m	14	北京市 2871 信箱(海淀区双清路	Edited	by	The Editorial Board of Environmental Science (HUANJING
		18号,邮政编码:100085)			KEXUE)
		电话:010-62941102,010-62849343			P. O. Box 2871, Beijing 100085, China
		传真:010-62849343			Tel:010-62941102,010-62849343; Fax:010-62849343
		E-mail; hjkx@ rees. ac. cn			E-mail; hjkx@ rcees. ac. cn
		http://www.hjkx.ac.cn			http://www.hjkx.ac.cn
出	版	4	Published	by	Science Press
щ	/IX	北京东黄城根北街 16 号			16 Donghuangchenggen North Street,
		邮政编码:100717			Beijing 100717, China
印刷装	ŧì⊤	北京北林印刷厂	Printed	by	Beijing Bei Lin Printing House
发	行	<b>辞学出版社</b>	Distributed	by	Science Press
		电话:010-64017032			Tel:010-64017032
		E-mail: journal@ mail. sciencep. com			E-mail:journal@mail.sciencep.com
订 购	处	全国各地邮电局	Domestic		All Local Post Offices in China
国外总统	发行	中国国际图书贸易总公司	Foreign		China International Book Trading Corporation (Guoji
		(北京 399 信箱)			Shudian), P. O. Box 399, Beijing 100044, China
					· ·

中国标准刊号:  $\frac{ISSN}{CN}$  0250-3301  $\frac{11-1895/X}{11}$ 

国内邮发代号: 2-821

国内定价:90.00元

国外发行代号: M 205

国内外公开发行